

[1. — *Leptarciella sagana* FENNAH.]

(Fig. 126 à 136.)

FENNAH, R. G., 1958, Bull. I.F.A.N., t. XX, A, 2, p. 507, fig. 15; I-II.

Testacé; une tache diffuse (suffusion) au travers du vertex, sauf à la base et une tache ronde sous les antennes, sont brun-noir. Élytres subhyalins, jaunâtre sale; un léger nuage brunâtre le long du bord de chaque cellule apicale.

Femelle : longueur : 4,2 mm; élytre : 5 mm.

Genitalia, voir figures 130 à 136.

Distribution. — Côte d'Ivoire.

Je ne connais cette espèce que par sa description originale. Il ne m'est pas possible de voir le type, ce dernier se trouvant au Muséum d'Histoire Naturelle de Paris.

2. — *Leptarciella kanongensis* n. sp.

(Fig. 137 à 141.)

Front une fois et demie aussi long que large (26 : 18); largeur à la base : 11; largeur apicale : 18; ocre-jaune, avec de part et d'autre du milieu, une bande longitudinale brunâtre se prolongeant sur le clypéus, pouvant fortement s'estomper et même disparaître. Une tache latérale ronde, noire, sous chaque antenne. Vertex jaunâtre, légèrement plus large à la base que long au milieu (14 : 13) (fig. 137). Pronotum jaunâtre, sans carène sur les épaules. Scutellum brun rouille, à carènes concolores. Élytres brunâtres, à nervures concolores; clavus se terminant avant le milieu de l'élytre; Cl_1 , Cl_2 , bifurcation de Cu et celle de $Sc + R$ à peu près au même niveau, vers le tiers basal de l'élytre; bifurcation de M au milieu de l'élytre et peu avant le stigma; huit cellules apicales depuis le stigma (fig. 138). Pattes jaunâtres; tibias postérieurs armés d'une épine située avant le milieu.

Genitalia ♂, voir figures 139 à 141.

Longueur totale : de 4 à 5 mm.

Type : 1 ♂, Kanonga, 675 m, 17-22.II.1949 (Parc National de l'Upemba).

32 paratypes : Parc National Albert (12 ex.) : Rutshuru, 1.285 m, 22.V-4.VI.1934; Rutshuru, riv. Kanzarue, 1.200 m, 15.VII.1935; 16.VII.1935; escarpement de Kabasha, 1.500 m, 12.XII.1934; 14.XII.1934; entre Kalinga-Vitshumbi, 1.082 m-925 m, 12.XI.1934; Rutshuru, 1.100 m, 8.VII.1935; Rutshuru, 1.285 m, 20-21.XII.1933.

Parc National de l'Upemba (20 ex.) : Kanonga, 675 m, 17-22.II.1949; Kaswabilenga, 700 m, 21.XI.1947; Lusinga, 1.760 m, 9-18.IV.1949; 16.IV.1947; riv. Munte, 1.480 m, 16.V.1947; Kabwe s/Muye, 1.320 m, 16-25.V.1948; 6-14.V.1948; Kilwezi, 750 m, 16-21.VIII.1948; [riv. Dipidi, 1.700 m, 22.IV.1947]; Munoi, bif. Lupiala, 890 m, 1-5.VI.1948; riv. Mubale, 1.480 m, 14.V.1947; Mukana-Lusinga, 1.810 m, 19.IV.1949; Mabwe, lac Upemba, 585 m, 21-28.VIII.1947.

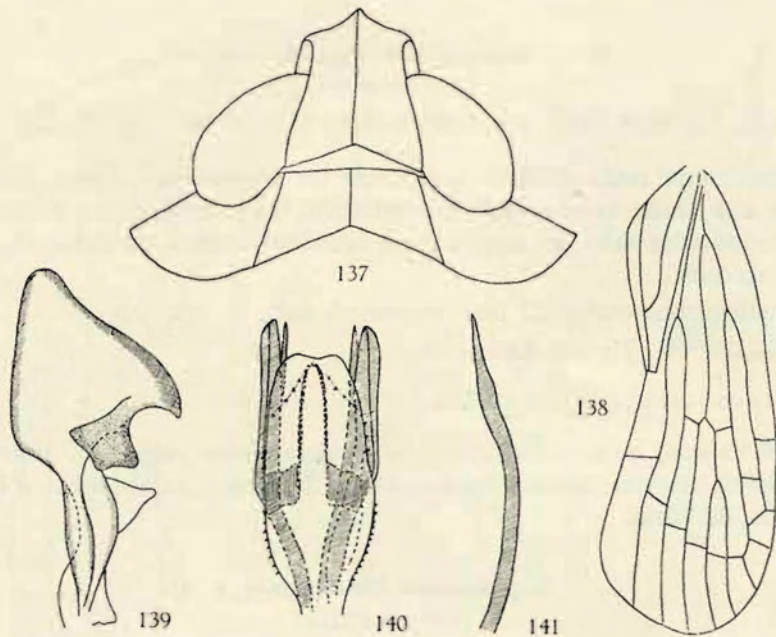


FIG. 137-141. — *Leptarciella kanongensis* n. sp. (♂).

137 : vertex et pronotum, env. $\times 50$; 138 : élytre, env. $\times 15$; 139 : paramère, env. $\times 60$; 140 : édéage, env. $\times 60$; 141 : appendice phallique, env. $\times 120$.

3. — *Leptarciella bifida* n. sp.

(Fig. 142 à 145.)

Front environ une fois et demie aussi long, que large à la suture clypéo-frontale (28 : 17); largeur apicale deux fois supérieure à la basale (17 : 18); bords latéraux divergents, carénés, relevés et légèrement foliacés; carène médiane saillante se prolongeant sur le clypéus; ocre-jaune. Dernier article du rostre plus long que le précédent, apicalement brunâtre. Une tache noire sous les antennes. Vertex déclive, sans carène antérieure mais à bord antérieur légèrement marqué; aussi long au milieu, que large au sommet de la découpe basale; bords latéraux relevés et carénés, divergents vers l'arrière, légèrement concaves avant le milieu, ensuite légèrement convexes; carène médiane saillante, prolongeant directement celle du front; bord postérieur anguleusement échancré; ocre-jaune, avec une grande tache noire, ovale, de chaque côté de la carène médiane. Pronotum jaunâtre, près de deux fois plus court que le vertex (12 : 23); carènes latérales divergentes vers l'arrière, atteignant le bord postérieur qui est largement échancré; pas de carènes sur les épaules. Tegulae non carénées. Scutellum ocre-jaune, plus foncé que vertex et pronotum et deux fois aussi long que les précédents réunis. Élytres

blanc sale, avec marques apicales brunes variables, à clavus se terminant avant le milieu; bifurcation *Sc+R* et *Cu* à peu près au même niveau que la réunion des nervures clavales Cl_1 Cl_2 ; bifurcation de *M* au niveau du stigma (fig. 142). Tibias postérieurs armés d'une épine située avant le milieu.

Genitalia ♂, voir figures 143 à 145.

Longueur totale : de 4,5 à 5 mm.

Type : 1 ♂, Rutshuru, 1.250 m, 4.VII.1935.

21 paratypes : Parc National Albert (1 ex.) : même localité, 22.V-4.VI.1934.

Parc National de l'Upemba (15 ex.) : Kabwe s/Muye, affl. dr. Lufira, 1.320 m, 26.IV-5.V.1948; 6-14.V.1948; Kamitungulu, 1.700 m, 16.IV.1947; riv. Mubale, 1.480 m, 10.V.1947; 9.V.1947; Lusinga, 1.760 m, 1-8.XII.1947; 12-17.XII.1947; riv. Munte, 1.480 m, 16.V.1947; rég. confl. Mubale-Munte, 1.480 m, 1-6.V.1947.

Musée Royal du Congo Belge (5 ex.) : territ. Rutshuru, VII.1937. Miss. Prophylact.; Rutshuru, 12.V.1936, L. LIPPENS; XII.1937, J. GHESQUIÈRE.

16. — Genre **MLANJELLA** FENNAH.

FENNAH, R. G., 1950, Bull. Brit. Mus. (Nat. Hist.), Entom., vol. I, n° 1, p. 117.

Front plus long que large, à bord basal tronqué, avec carène médiane nette, plutôt calleuse vers le cinquième basal, à bords latéraux légèrement foliacés, convexes, divergeant jusque sous le niveau des antennes, s'incurvant ensuite légèrement vers la suture. Antennes subglobuleuses, légèrement enfoncées dans une dépression. Ocelles touchant les yeux. Tête avec les yeux, légèrement plus étroite que le pronotum. Vertex non déclive, plus large à la base que long au milieu (de 1 ½ à 2 : 1), avec carène médiane nette seulement sur la moitié basale, pouvant manquer complètement; disque assez fortement déprimé; bord antérieur caréné, formant un angle apical plus ou moins arrondi; bords latéraux carénés, droits, divergeant vers l'arrière; bord postérieur subanguleusement excavé. Pronotum à bord antérieur convexe-tronqué, à bord postérieur anguleusement entaillé; tricaréné, les carènes latérales légèrement convexes, trois fois aussi longues que la médiane, atteignant le bord postérieur. Scutellum tricaréné. Élytres trois fois aussi longs que larges, à bord costal légèrement convexe et bord sutural formant un angle rentrant de 150° à l'apex du clavus; *Sc+R* à peu près au niveau de la bifurcation de *Cu* ou légèrement après; bifurcation de *M* légèrement avant le nodus, celle de *Cu*, à peu près au niveau de Cl_1 Cl_2 ; stigma formé d'environ quatre cellules; huit cellules le long du bord apical; clavus se terminant après le milieu de l'élytre. Tibias postérieurs armés d'une seule épine avant le milieu.

Génotype : *Mlanjella bispinosa* FENNAH.

Distribution. — Nyasaland : M. Mlanje.

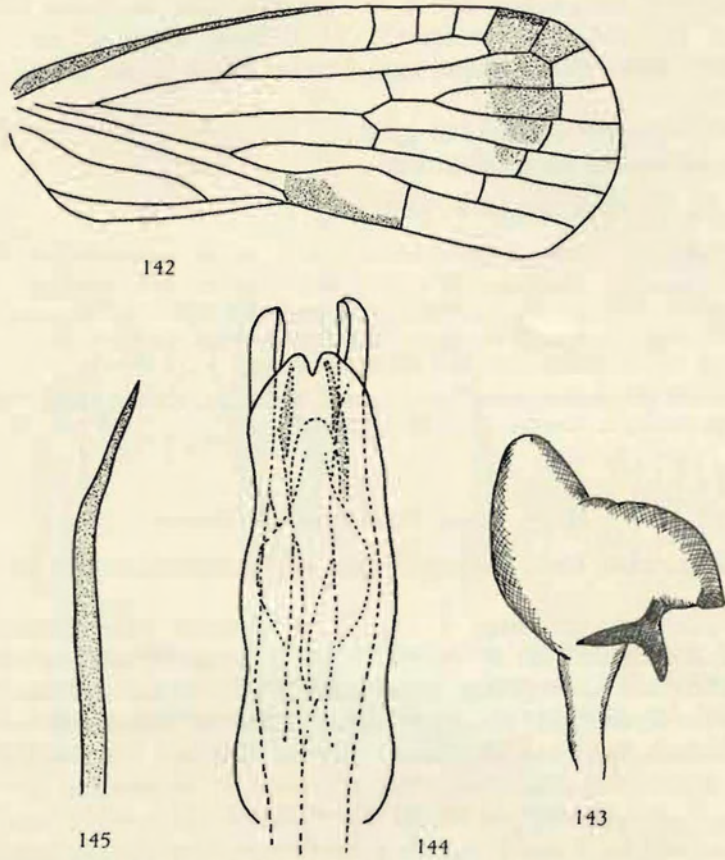


FIG. 142-145. — *Leptarciella bifida* n. sp. (♂).
 142 : élytre, env. $\times 15$; 143 : paramère, env. $\times 60$; 144 : édéage, env. $\times 60$;
 145 : appendice phallique, env. $\times 100$.

TABLE DES ESPÈCES.

- | | |
|----------------------------------------------------------------------------------------------------------------------------------------------------------------------------------------------------------------------------------------------------------------------|----------------------------|
| 1. Front unicolore | 2 |
| — Front avec taches ou bandes | 3 |
| 2. Élytres brun clair, avec deux bandes longitudinales jaune vif, dont une le long du bord costal et l'autre le long du bord interne du clavus (fig. 175). Vertex deux fois aussi large que long, à carène médiane saillante, écourtée vers l'avant (fig. 174) | <i>M. bivittata</i> n. sp. |
| — Élytres hyalins, verdâtres depuis la base jusqu'au stigma; cellules apicales externes brunâtres. Vertex une fois et demie aussi large que long, | |

- avec carène médiane sur la moitié postérieure, à bord antérieur anguleusement brisé (fig. 170) *M. similis* n. sp.
3. Front ocre-jaune, avec deux grosses taches noires sous le bord antérieur. Élytres brunâtres, avec deux bandes longitudinales jaunes, dont une le long du bord costal et l'autre le long du bord interne du clavus. Vertex moins de deux fois aussi large que long (un peu plus d'une fois et demie), avec carène médiane nette sur la moitié postérieure, à bord antérieur anguleusement convexe (fig. 166) *M. binotata* n. sp.
- Front avec une ou deux bandes transversales 4
4. Front brunâtre, avec deux bandes transversales ocre. Élytres bruns, avec deux taches ovales, transparentes, dans la cellule costale. Vertex environ deux fois aussi large que long, à carène assez épaisse, nette sur la moitié postérieure (fig. 151) *M. bispinosa* FENNAH.
- Front ocre, soit avec bande transversale blanc jaunâtre, soit avec bande transversale brune sur la base 5
5. Front ocre, avec une large bande transversale blanc jaunâtre. Élytres ocre, avec marques blanchâtres se composant d'une étroite bande le long du bord costal jusque vers la bifurcation *Sc+R*, une tache sur *Sc* au niveau du stigma et une plage comprenant la presque totalité du clavus et atteignant la bifurcation de *Cu* (fig. 147). Vertex un peu moins de deux fois aussi large que long, à bord antérieur anguleux (fig. 146) *M. bequaerti* n. sp.
- Front ocre-jaune avec, sur la base, une bande transversale brun foncé. Élytres brun foncé, avec une bande jaune vif le long du bord costal et une seconde le long du bord interne du clavus (fig. 162). Vertex proportionnellement plus long que chez l'espèce précédente, à bord antérieur quasi droit *M. flavopicta* FENNAH.

[1. — ***Mlanjella bequaerti*** n. sp.]

(Fig. 146 à 150.)

Front allongé (longueur : 33, largeur : 24), à bords latéraux divergents vers le bas, carénés et légèrement foliacés vers la suture clypéale (largeur à la base : 12, largeur à l'apex : 24); ocre, avec une large bande transversale blanc jaunâtre; carène médiane nette, se prolongeant sur le clypéus dont les bords latéraux sont carénés. Rostre atteignant les hanches postérieures; les articles à peu près de même longueur. Ocelles touchant le bord antérieur des yeux. Vertex pentagonal, à disque creusé, un peu moins de deux fois aussi large que long (32 : 18), à bord antérieur anguleux, bords latéraux divergents vers l'arrière et bord postérieur profondément concave; les bords latéraux sont fortement relevés et carénés et le bord postérieur

forme un léger repli; pas de traces de carène médiane; ocre, à bords jaunâtres (fig. 146). Pronotum à bord postérieur anguleusement échancré, à carènes latérales légèrement convexes, trois fois plus longues que la médiane; jaune, sauf les parties latérales qui sont brun clair; une carène sur les épaules. Scutellum plus de trois fois aussi long que vertex et pronotum réunis, tricaréné, les carènes latérales légèrement convexes et convergentes vers le haut; brun clair, sauf la partie médiane comprise entre les carènes latérales, qui est jaune. Elytres près de trois fois aussi longs que larges;

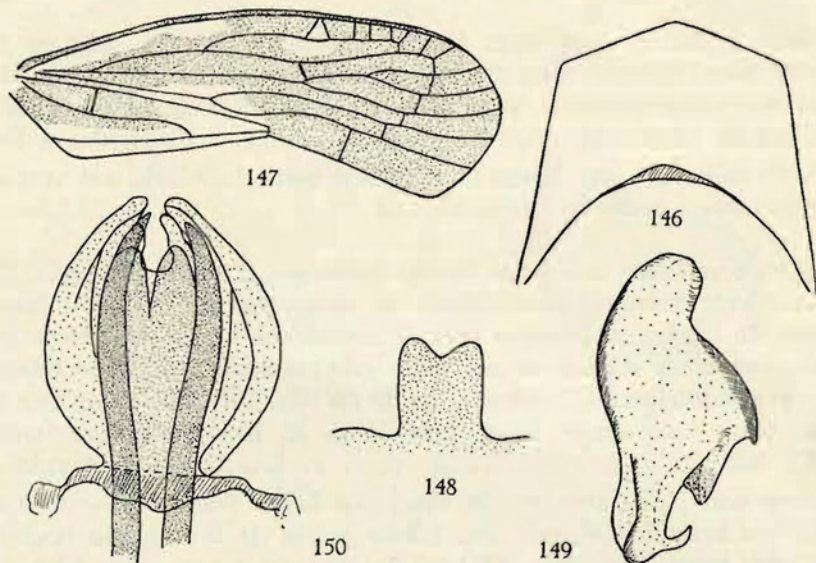


FIG. 146-150. — *Mlanjella bequaerti* n. sp. (♂).

146 : vertex, env. $\times 100$; 147 : élytre, env. $\times 13$; 148 : appendice médioventral du pygophore, env. $\times 75$; 149 : paramère, env. $\times 75$; 150 : édéage, env. $\times 75$.

clavus se terminant peu après le milieu de l'élytre; bifurcation $Sc+R$ au même niveau que celle de Cu et de $Cl_1 Cl_2$; bifurcation de M vers le stigma; ocre, avec marques blanchâtres se composant d'une étroite bande le long du bord costal jusque vers la bifurcation $Sc+R$, une tache sur Sc , au niveau du stigma et une plage comprenant la presque totalité du clavus et atteignant la bifurcation de Cu , fig. 147).

Longueur totale : de 5 à 6 mm.

Genitalia ♂, voir figures 148 à 150.

Type : 1 ♂, Elisabethville, 29.II.1912, Dr BEQUAERT (Musée Royal du Congo Belge).

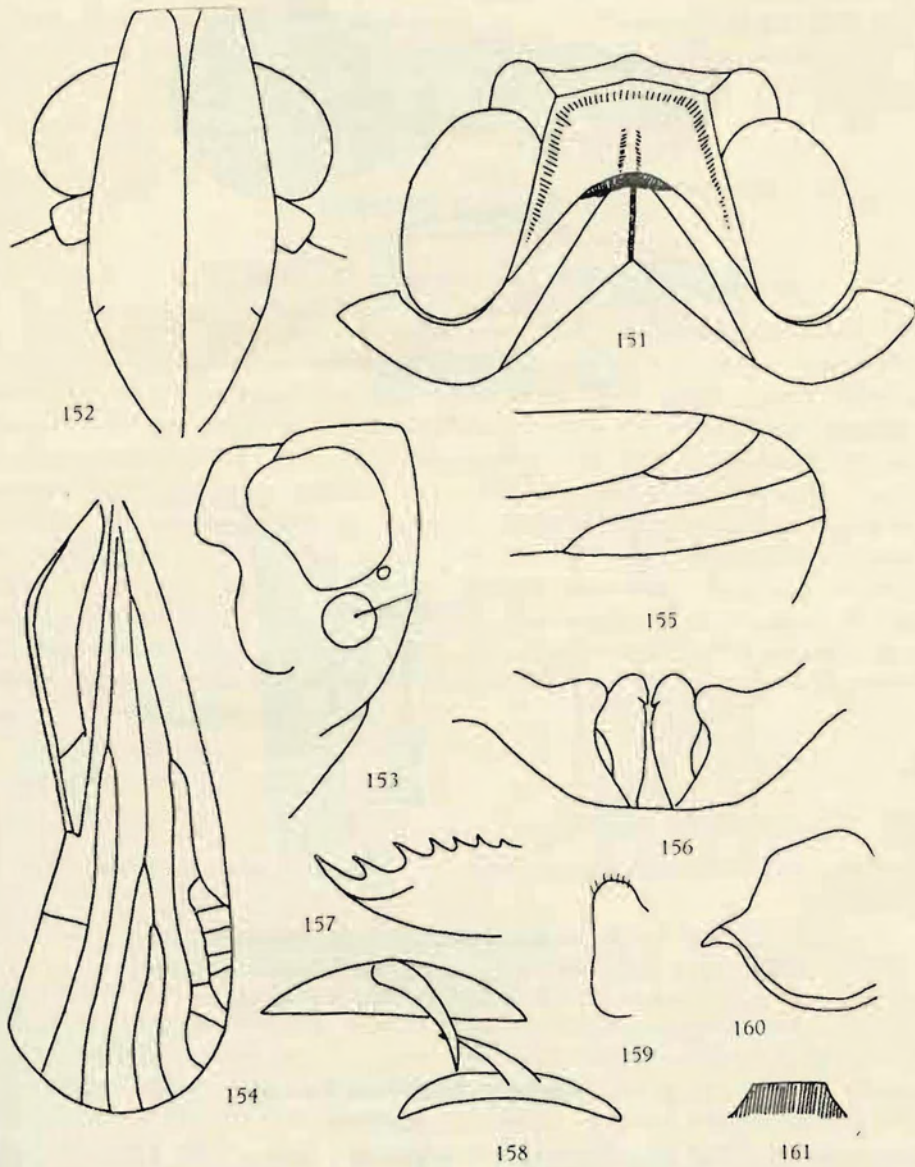
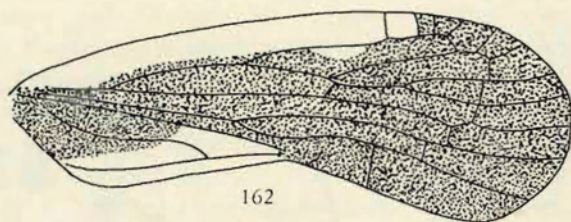
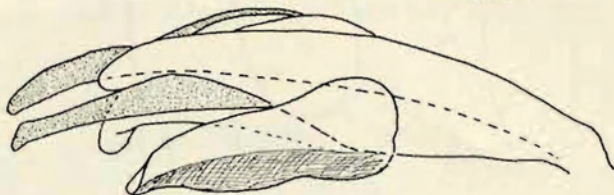


FIG. 151-161. — *Mlanjella bispinosa* FENNAH (♀) (sec. auct.).

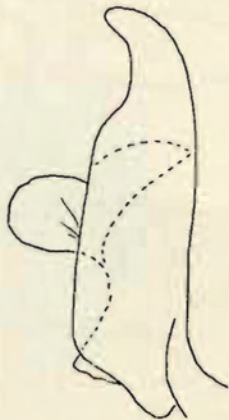
151 : vertex et pronotum; 152 : front et clypéus; 153 : front de profil; 154 : élytre;
 155 : apex de l'aile; 156 : bord postérieur du 7^e sternite, parties latéroventrales
 du 8^e, lobes ventraux des premières valvules; 157 : 1^{re} valvule; 158 : sclérites
 à l'entrée de la bursa copulatrix; 159 : lobe ventral d'une première valvule;
 160 : 3^e valvule; 161 : plaque subvaginale.



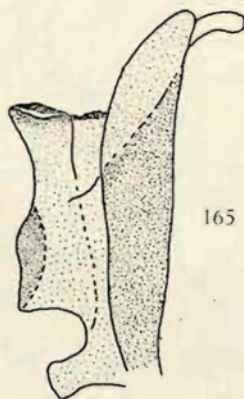
162



163



164



165

FIG. 162-165. — *Mlanjella flavopicta* FENNAH (♂).
 162 : élytre, env. $\times 16$; 163 : édéage, vue latérale, env. $\times 100$;
 164 et 165 : deux aspects d'un paramère.

[2. — *Mlanjella bispinosa* FENNAH.]

(Fig. 151 à 161.)

FENNAH, R. G., 1950, Bull. Brit. Mus. (Nat. Hist.), Entom., vol. I, n° 1, p. 117.

Bord postérieur du vertex relevé en une légère ride, carène médiane assez large.

Brunâtre (« fuscous »). Sont ocre : deux bandes au travers du front et des joues, les carènes du pronotum et du scutellum, le bord postérieur du pronotum, le tiers inférieur des tegulae, la partie inférieure du thorax et les bords de l'abdomen. Pattes brun pâle. Élytres brunâtres, avec deux taches

ovales transparentes dans la cellule costale, dont une au stigma; toutes les petites nervures transversales et l'apex du clavus, blanchâtres. Ailes enfumées. Bord postérieur du septième sternite abdominal transverse.

Genitalia ♀, voir figures 156 à 161.

Distribution. — Nyasaland : M. Mlanje.

[3. — **Mlanjella flavopicta** FENNAH.]

(Fig. 162 à 165.)

FENNAH, R. G., 1957, Bull. I.F.A.N., t. XIX, 4, p. 1290, fig. 8, *a-g*.

Front jaune-ocre, avec à la base, une bande transversale brun foncé; plus long que large (64 : 52), à bords latéraux divergents vers le bas, légèrement convexes vers le clypéus; carène médiane nette. Clypéus jaune. Tempes jaunes, avec une tache brun foncé devant les yeux. Vertex jaune, quadrangulaire, plus long que large (17 : 28), à bord antérieur légèrement convexe, presque droit; disque creusé; bords latéraux fortement relevés; carène médiane présente mais non saillante. Pronotum jaune au milieu, brun sur les côtés; plaques pectorales jaunes. Scutellum brun foncé, sauf la partie médiane comprise entre les carènes latérales, qui est jaune. Élytres brun foncé, avec une bande jaune vif le long du bord costal et une seconde, le long du bord interne du clavus; bifurcation *Sc+R* et celle de *Cu* à peu près à même hauteur, peu après le niveau de *Cl₁*, *Cl₂*; *M* avec trois branches apicales. Pattes blanc jaunâtre.

Genitalia ♂, voir figures 163 à 165.

Longueur totale : environ 5,5 mm.

Distribution. — Cameroun français; Congo Belge : Baudouinville.

Musée Royal du Congo Belge (1 ex., ♀) : Baudouinville, I.1933, L. BURGEON.

[4. — **Mlanjella binotata** n. sp.]

(Fig. 166 à 169.)

Très proche de *bivittata* dont elle diffère principalement par la forme et les dimensions relatives du vertex, le front plus dilaté vers l'apex, avec deux taches noires sous le bord supérieur, de part et d'autre de la carène médiane, ainsi que par les genitalia ♂ comme le montrent les figures 168, 169 et 176, 178. Front plus long que large (30 : 25), à base beaucoup plus étroite que l'apex (13 : 25); bords latéraux assez fortement divergents vers l'apex, relevés et carénés, foliacés vers le bas; carène médiane saillante, se prolongeant sur le clypéus; ocre-jaune, avec deux grosses taches noires sous le bord supérieur. Clypéus légèrement plus foncé que le front. Ocelles touchant le bord antérieur des yeux. Vertex jaunâtre, plus d'une fois et demie aussi large à la base, que long au milieu (29 : 17); disque creusé, avec carène médiane nette sur la moitié postérieure; bord antérieur angu-

leusement convexe, bords latéraux très légèrement divergents vers l'arrière et bord postérieur profondément excavé (fig. 166). Pronotum jaunâtre, plus court que le vertex (10 : 17), à carènes latérales environ trois fois aussi longues que la médiane, atteignant le bord postérieur; ce dernier profondément échancré; une carène sur les épaules. Scutellum environ trois fois

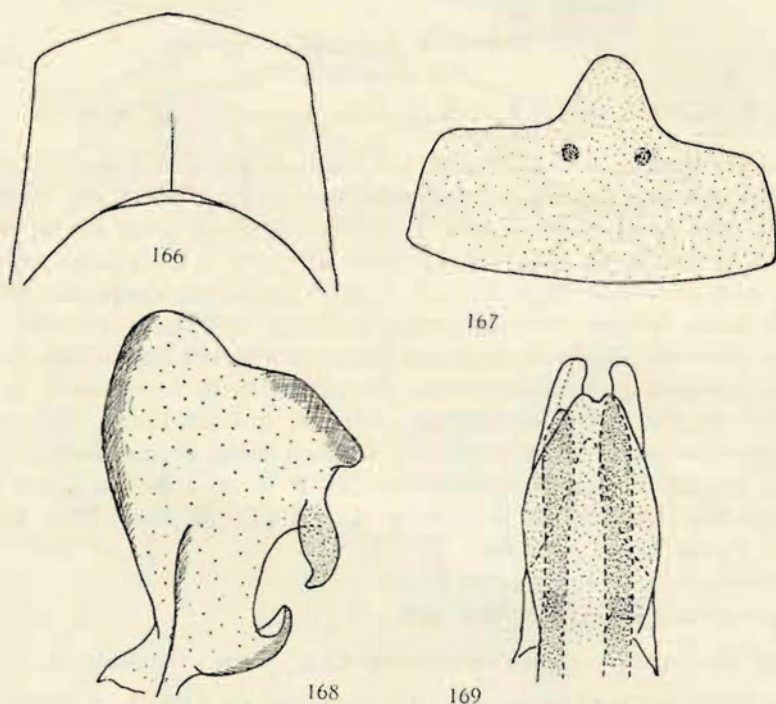


FIG. 166-169. — *Mlanjella binotata* n. sp. (♂).

166 : vertex, env. $\times 120$; 167 : pygophore, vu de face, env. $\times 50$;
168 : paramère, env. $\times 60$; 169 : édéage, env. $\times 50$.

aussi long que vertex et pronotum réunis; ocre, tricaréné. Élytres (en assez mauvais état sur le type) brunâtres, avec une bande longitudinale jaune le long du bord costal, depuis la base jusqu'au stigma ainsi qu'une seconde, plus large, le long du bord interne du clavus; bifurcation *Sc+R* peu après celle de *Cu*, cette dernière peu après *Cl₁*, *Cl₂*. Tibias postérieurs armés d'une seule épine avant le milieu.

Longueur totale : environ 6 mm.

Genitalia ♂, voir figure 167 à 169.

Type : 1 ♂, Kankunda, affl. g. Lupiala, 1.300 m, 22-27.XI.1947 (Parc National de l'Upemba).

[5. — *Mlanjella* sp. (apud *binotata*).]

3 ♀♀, provenant des localités reprises ci-dessous, ont des élytres avec une nervulation et une coloration identiques à celles de *binotata* et *bivittata* mais en plus foncé. Le vertex ressemble fortement à celui de *binotata*, il en a les proportions mais la carène médiane est à peine indiquée sur la partie relevée du bord postérieur. De plus, ici, il y a une bande transversale brun foncé sur la base du front, se prolongeant même sur les tempes, au lieu de deux taches comme c'est le cas pour *binotata*. Le pronotum est jaune, sauf une bande brune derrière les yeux. Le scutellum est jaune au milieu mais brun foncé de part et d'autre des carènes latérales. Tegulae à moitié antérieure jaune et moitié postérieure brun foncé. Il s'agit très probablement d'une espèce nouvelle, très voisine des autres, que je ne décrirai cependant pas pour l'instant, ne disposant pas de spécimen ♂.

Parc National de l'Upemba (2 ex.): Kaziba, affl. g. Senze, s.-affl. dr. Lufira, 1.140 m, 8-14.II.1948.

Musée Royal du Congo Belge (1 ex.): Baudouinville, I.1933, L. BURGEON.

[6. — *Mlanjella similis* n. sp.]

(Fig. 170 à 173.)

Par la forme et les dimensions relatives du vertex, ressemble à *M. binotata*. En diffère cependant fortement par la coloration des élytres ainsi que par les genitalia ♂.

Front jaunâtre, plus long que large (30 : 22), à base beaucoup plus étroite que la largeur maxima (11 : 22); bords latéraux divergents vers le bas, relevés et carénés, légèrement foliacés vers la suture clypéale; carène médiane nette, se prolongeant sur le clypéus. Ocelles touchant le bord antérieur des yeux. Vertex une fois et demie aussi large à la base, que long au milieu (28 : 19); disque creusé, avec carène médiane nette sur la moitié postérieure; bord antérieur anguleusement brisé, bords latéraux divergents vers l'arrière et bord postérieur profondément échancré (fig. 170). Pronotum jaunâtre, avec carène médiane trois fois plus courte que les latérales; ces dernières atteignant le bord postérieur; une carène sur les épaules. Tegulae et scutellum jaunâtres, le second trois fois aussi long que vertex et pronotum réunis. Élytres hyalins, verdâtres depuis la base jusqu'aux environs du stigma; bifurcation *Sc+R* et *Cu* au même niveau, peu après la réunion des nervures clavales *Cl₁* *Cl₂*; clavus se terminant au milieu de l'élytre; cellules apicales externes, brunâtres. Tibias postérieurs armés d'une épine avant le milieu.

Longueur totale : environ 5,5 mm.

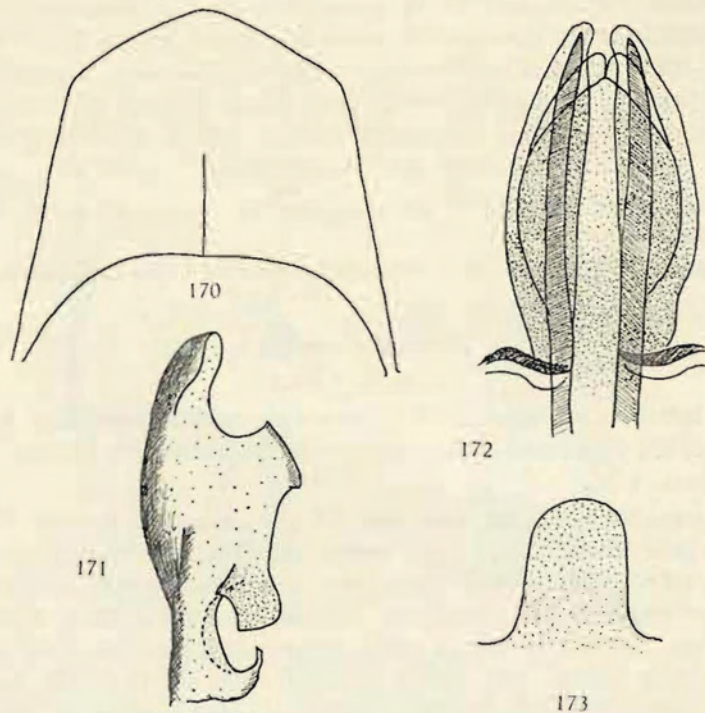
Genitalia ♂, voir figures 171 à 173.

Type : 1 ♂, Kaziba, 1.140 m, 19.II.1948 (Parc National de l'Upemba).

[7. — *Mlanjella bivittata* n. sp.]

(Fig. 174 à 178.)

Front jaune à ocre-jaune, à peu près aussi large à sa largeur maxima, que long au milieu (23 : 25), à base droite; bords latéraux relevés, carénés, divergents vers le clypéus, d'abord droits puis assez fortement convexes; carène médiane se prolongeant sur le clypéus. Articles du rostre d'égale

FIG. 170. — *Mlanjella similis* n. sp. (♂).

170 : vertex, env. $\times 120$; 171 : paramère, env. $\times 60$; 172 : édéage, env. $\times 60$;
173 : appendice médioventral du pygophore, env. $\times 60$.

longueur; apex du dernier article, noir. Vertex jaunâtre, deux fois aussi large à la base, que long au milieu (30 : 15), à bords relevés et carénés; l'antérieur anguleusement convexe, les latéraux divergents vers l'arrière et le postérieur découpé en arc; carène médiane saillante, écourtée vers l'avant (fig. 174). Pronotum jaune clair, plus court de moitié que le vertex (7,5 : 15), à bord supérieur droit et bord postérieur profondément échancré en angle; carènes latérales droites, divergentes vers le bord postérieur qu'elles

n'atteignent pas; de chaque côté de la carène médiane, une petite dépression punctiforme; sur chaque épaule, une carène entre l'œil et la tegula. Scutellum tricaréné, brun-roux, sauf une large bande médiane jaune comprise entre les carènes latérales. Élytres brun clair, avec deux bandes longitudinales jaune vif, l'une longeant le bord costal, comprise entre ce dernier et $Sc+R$ et se terminant vers le stigma, la seconde le long du bord interne du clavus et comprise entre ce dernier et Cl_2 ; clavus se terminant au milieu de

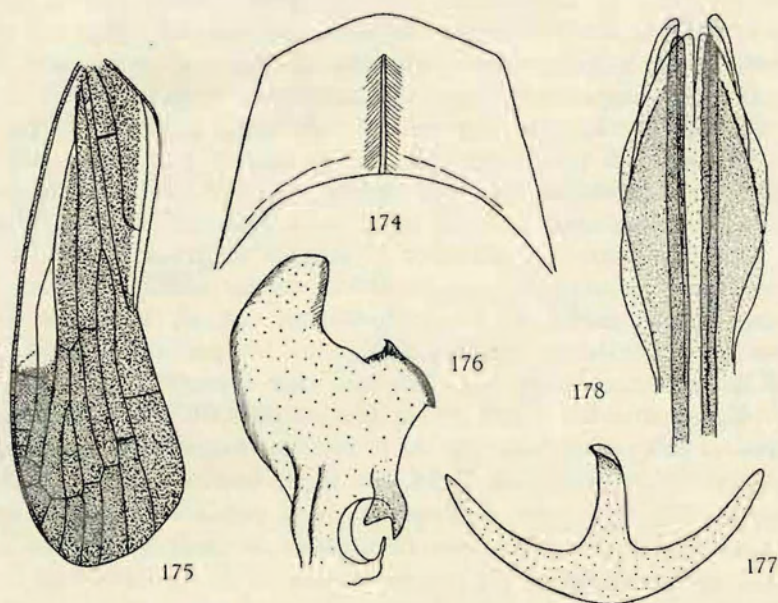


FIG. 174-178. — *Mlanjella bivittata* n. sp. (♂ et ♀).

174 : vertex, env. $\times 100$; 175 : élytre, env. $\times 15$; 176 : paramère, env. $\times 100$;
177 : sclérite à l'entrée de la bursa copulatrix de la ♀, env. $\times 100$;
178 : édéage, env. $\times 100$.

l'élytre; bifurcation $Sc+R$ légèrement plus apicale que celle de Cu , cette dernière à peu près au niveau de Cl , Cl_2 ; bifurcation de M peu avant le stigma (fig. 175). Tibias postérieurs armés d'une petite épine située avant le milieu.

Genitalia ♂, voir figures 176, 178; genitalia ♀, voir figure 177.

Longueur totale : de 5 à 6 mm.

Type : 1 ♂, riv. Mubale, 1.480 m, 10.V.1947 (Parc National de l'Upemba).

2 paratypes : Kabwe s/Muye, 1.320 m, 16-25.V.1948; 13-14.V.1948 (Parc National de l'Upemba).

[17. — Genre **SABECOIDES** FENNAH.]

Tête avec les yeux, un peu plus étroite que le pronotum. Vertex modérément déclive, aussi long au milieu ou un peu plus long, que large à la base de la ligne médiane, saillant au devant des yeux d'à peu près une demi-longueur d'œil; carène médiane saillante ou subfoliacée, atteignant l'apex et se prolongeant sur le front; bords latéraux carénés, convergents vers l'avant, fortement relevés; disque creusé de chaque côté de la ligne médiane, une facette triangulaire potentiellement présente de chaque côté de l'apex, mais le bord antérieur est comparativement faible s'il est présent; bord apical anguleusement convexe, formant un angle soit presque droit, soit même légèrement aigu; bord postérieur anguleusement découpé. Front vu de profil, très légèrement convexe, plus long que large (1,3 : 1), la partie la plus large 2,8 fois la largeur à la base; bord basal transverse ou légèrement concave; carène médiane saillante sur toute la longueur; bords latéraux saillants et foliacés, sinués, fortement divergents jusque sous le niveau des antennes et ensuite incurvés; disque du front légèrement concave entre la carène médiane et les bords latéraux; clypéus plus long que la moitié du front, fortement caréné, à carènes latérales saillantes vers l'extérieur. Rostre atteignant les post-trochanters. Second segment des antennes globuleux, pas dans une dépression mais antérieurement protégé (« shielded ») par les carènes latérales du front. Ocelles étroitement séparés des yeux. Yeux pas ou faiblement excavés en dessous, recouvrant légèrement le pronotum. Pronotum modérément court, bord antérieur du disque court, transverse ou convexe, bord postérieur entaillé en angle obtus, carène médiane nette, une dépression de chaque côté de la ligne médiane, carènes latérales du disque concaves, divergentes vers l'arrière mais ne s'unissant pas au bord postérieur, s'incurvant latéralement et se poursuivant parallèlement et à peu de distance de ce dernier; une carène latérale distincte entre l'œil et la tegula et une seconde peu nette, en dessous de celle-ci; pronotum non incliné latéroventralement de chaque côté du disque, sans petites aréoles, bord ventral des lobes latéraux obliquement arrondi. Mésonotum plus long que vertex et pronotum réunis, tricaréné, à carènes latérales du disque parallèles. Tegulae non carénées. Tibias postérieurs avec une seule épine basalement du milieu et six à sept dents à l'apex; article basal du métatarse avec cinq ou six dents, le second avec cinq. Élytres environ trois fois aussi longs que larges, bord costal légèrement convexe, bifurcation *Sc+R* au même niveau que celle de *Cu* ou un peu plus loin, toutes deux peu après la réunion des nervures clavales; *M* bifurquée au même niveau que le stigma; six ou sept cellules apicales le long du bord, après la branche apicale de *R*; clavus se terminant après le milieu de l'élytre. Bord postérieur du sternite pré-génital de la ♀ transverse ou très légèrement convexe. Bursa copulatrix armée de deux appendices épineux

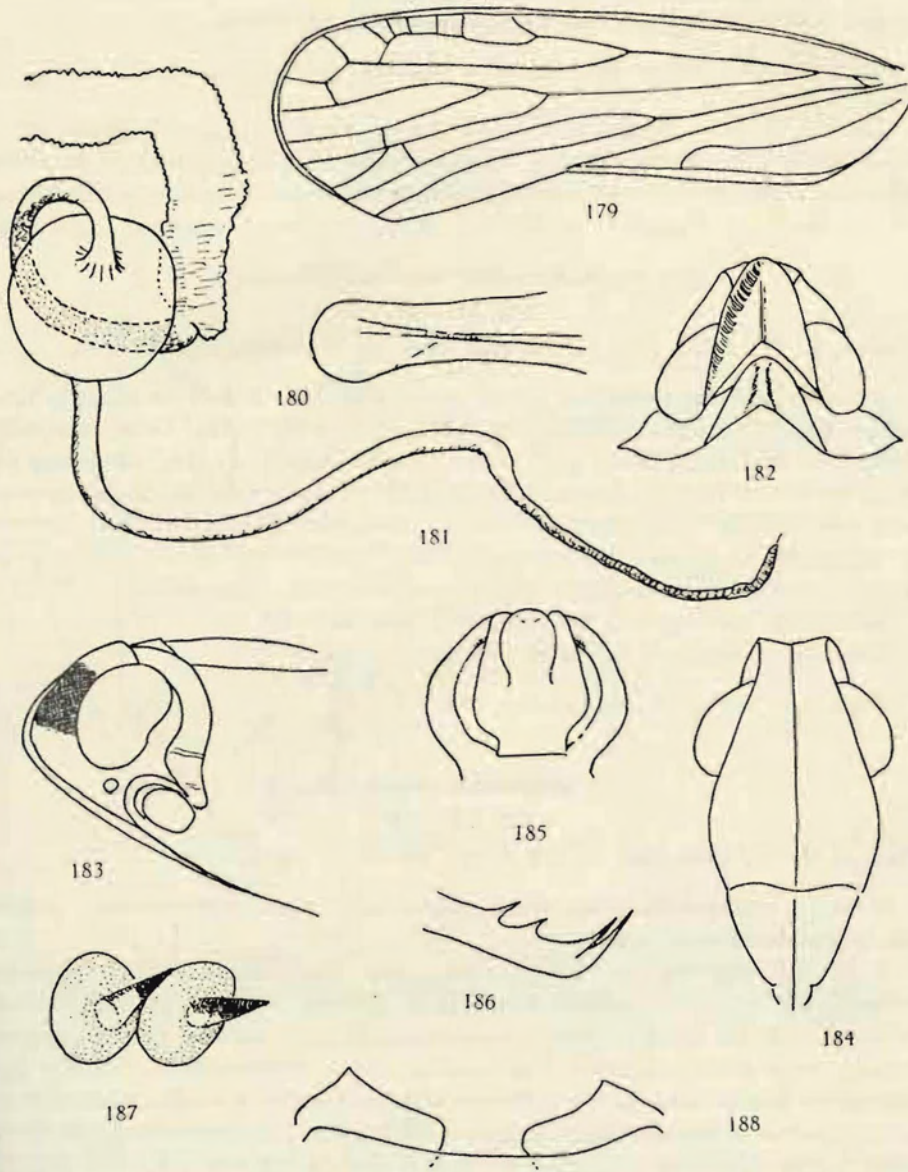


FIG. 179-188. — *Sabecoides bomilcar* FENNAH (sec. auct.).

179 : élytre; 180 : 2^e valvule droite; 181 : spermathèque, montrant la chambre sphérique au milieu; 182 : vertex et pronotum; 183 : tête de profil; 184 : front et clypéus; 185 : segment anal de la ♀, vue dorsale; 186 : sclérite à l'apex des premières valvules; 187 : deux sclérites spiniformes dans la paroi de la bursa copulatrix; 188 : bord postérieur du sternite pré-génital et lobes latéraux.

situés l'un derrière l'autre, partant chacun d'une base placôide; spermatheque dilatée près du milieu en un réceptacle globuleux.

Génotype : *Sabcooides bomilcar* FENNAH.

Distribution. — Côte d'Ivoire.

Je ne connais pas ce genre et par conséquent ne puis que le situer approximativement d'après sa description-originale.

[1. — **Sabcooides bomilcar** FENNAH.]

(Fig. 179 à 188.)

FENNAH, R. G., 1958, Bull. I.F.A.N., t. XX, A, 2, p. 509, fig. 16, 1-10.

Facettes latéroapicales du vertex non délimitées à leur bord antérieur; autres détails morphologiques voir figures 179 et 182 à 184. Ocre; une tache diffuse sur le vertex, sauf l'apex, ainsi que les côtés de la tête, au-dessus des yeux, sont brun-noir; le disque du pronotum entre les carènes, le mésonotum sauf les carènes et le mésoscutellum ainsi que l'abdomen sont marron (« castaneous »). Élytres brun-rouge foncé (« castaneous-fuscous »), bord costal et nervures testacés. Ailes brun foncé, nervures concolores.

Genitalia, voir figures 180, 181, 185, 186, 187, 188.

Femelle : longueur, 4,3 mm; élytre, 5,5 mm.

Distribution. — Mt. Tonkoui, Côte d'Ivoire.

[2. — **Sabcooides cacus** FENNAH.]

(Fig. 189 à 192.)

FENNAH, R. G., 1958, Bull. I.F.A.N., t. XX, A, 2, p. 509, fig. 17, 1-4.

Facettes latéroapicales du vertex petites mais assez distinctement délimitées à leur bord antérieur.

Vert vif, passant au vert jaunâtre; une tache diffuse sur la carène médiane du front, le clypéus, le vertex, la carène médiane du mésonotum, les antennes, les faces latérales du mésonotum, la moitié postérieure des tegulae et le bord postérieur des mésopleures, rouge-orange. Élytres vert pâle, bord costal, une tache diffuse s'étendant dans la partie distale de la cellule costale et une étroite bordure du bord apical, orangé; une large bande rouge vif depuis la base jusqu'à la ligne nodale sur *M* et *Cu* et une seconde, aussi large, suivant la nervure clavale interne jusqu'à l'apex du clavus; membrane légèrement brunâtre, une tache sur la membrane contre le stigma, une seconde sur l'angle apical et une tache diffuse près du bord des cellules apicales, brunâtres (« dark fuscous »); nervures concolores (fig. 192). Ailes légèrement brunâtres, nervures plus foncées.

Femelle : longueur, 4,2 mm; élytre, 4,9 mm.

Distribution. — Yapo, Côte d'Ivoire.

18. — Genre **BALLOMARIUS** JACOBI.

JACOBI, A., 1941, Zoolog. Jahrb., Bd. 74, Heft 4, p. 294.

Les espèces décrites dans ce genre sont soit orientales, soit africaines.

Front de une et demie à deux fois aussi long que large, à bords latéraux carénés, légèrement foliacés et divergents vers le clypéus; bord supérieur anguleux, formant deux petits compartiments triangulaires avec le bord

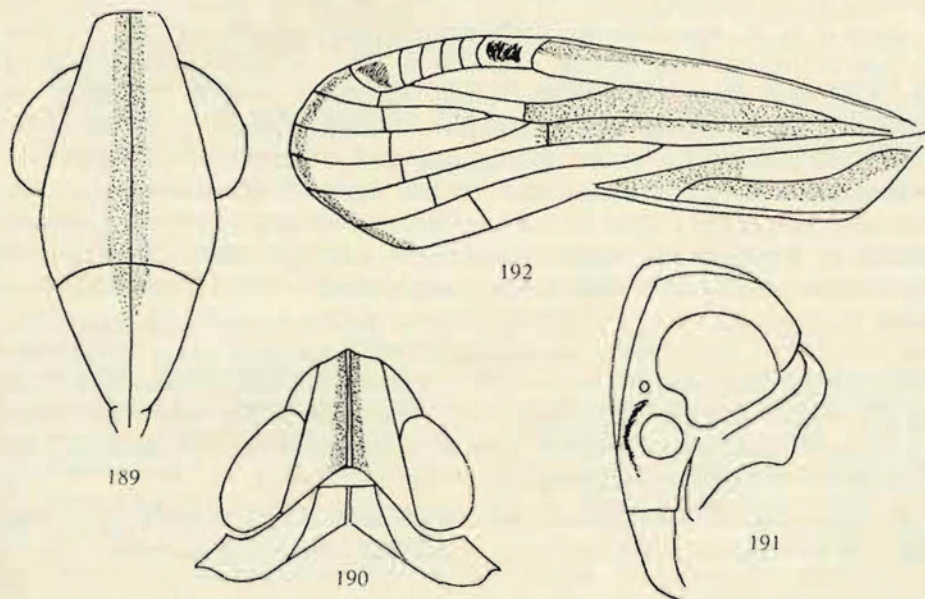


FIG. 189-192. — *Sabecoides cacus* FENNAH (sec. auct.).

189 : front et clypéus; 190 : vertex et pronotum; 191 : tête de profil;
192 : élytre (surfaces pointillées sur la tête et sur l'élytre, rouges;
bord apical interne de l'élytre, brunâtre).

antérieur du vertex; carène médiane nette et saillante, épaissie vers la base. Clypéus plus court que le front, à bords latéraux carénés, avec prolongation de la carène médiane frontale. Vertex à bord antérieur anguleux, bords latéraux divergents vers l'arrière et bord postérieur très largement et peu profondément découpé; les bords latéraux et antérieurs sont relevés et carénés, le disque déprimé, avec carène médiane très saillante. Pronotum avec trois carènes discales, dont les latérales sont divergentes vers l'arrière et atteignent le bord postérieur; pas de carène entre l'œil et la tegula. Scutellum tricaréné. Élytres environ trois fois aussi longs que larges, à clavus

court ne se terminant que peu après le tiers basal; bifurcation $Sc+R$ à peu près au même niveau que celle de Cu et de $Cl_1 Cl_2$; bifurcation de M au milieu de l'élytre. Tibias postérieurs armés d'une seule épine avant le milieu.

Génotype : *Ballomarius terrenus* JACOBI.

Distribution. — Florès; Afrique.

Si *B. guttatus* est aisément reconnaissable par les caractères chromatiques et sexuels, la description étant basée sur un spécimen ♂ et les genitalia étant figurés ⁽¹²⁾, il n'en est pas de même pour *B. bilobatus*, *B. inermis* et *B. kawandanus*. Ces derniers sont décrits sur des femelles uniques se trouvant au British Museum et par conséquent impossibles à examiner, sauf en se rendant sur place. En outre, seul *B. bilobatus* est défini par des caractères morphologiques et chromatiques; la forme et les dimensions relatives du vertex notamment, sont rendues par une figure ⁽¹³⁾. *B. inermis* et *B. kawandanus*, par contre, ne sont définies que par des caractères sexuels ♀. Pour le reste, l'auteur écrit simplement « testacé, marqué de foncé comme chez *B. bilobatus* », sans préciser si le vertex est différent ou semblable à celui de l'espèce précédente. Ceci pourrait donc laisser supposer que les trois espèces ont un vertex de forme et de proportions identiques. Or, d'après les renseignements que m'a très aimablement communiqués mon collègue et ami R. J. IZZARD, du British Museum, ainsi que d'après les croquis qu'il a bien voulu me faire, *B. inermis* a un vertex et une face beaucoup plus étroits que *B. bilobatus* et *B. kawandanus*; ces deux derniers étant fort similaires.

B. guttatus et *B. kawandanus* ont été reconnus dans le matériel étudié, ainsi que six espèces nouvelles pour la Science, décrites ci-dessous.

TABLE DES ESPÈCES.

| | |
|----------------------------------------------------------------------------------------------------------------------------------------------------------------------------------------------------------|----------------------------|
| 1. Élytres brun foncé, parsemés de petites taches blanchâtres, dont trois en travers du tiers basal et deux dans la cellule costale (voir fig. 233) | <i>B. guttatus</i> FENNAH. |
| — Élytres de coloration différente | 2 |
| 2. Vertex court et large, près d'une fois et demie aussi large que long, à bord antérieur largement arrondi (voir fig. 201, 239) | 3 |
| — Vertex nettement moins large, généralement aussi long ou même plus long que large (chez <i>mongaensis</i> , le rapport largeur/longueur est de 41 : 32 soit 1,28) (voir fig. 240, 244, 247, 224) | 6 |

⁽¹²⁾ FENNAH, R. G., 1955, Ann. Mus. Congo Belge, in-8°, Zool., 40, p. 438, fig. 9, a-f.

⁽¹³⁾ FENNAH, R. G., 1950, Bull. Brit. Mus. (Nat. Hist.), Ent., vol. 1, 1, p. 130, fig. 87, a-b.

3. Vertex et pronotum uniformément ocre. Élytres bruns, à nervures concolores, avec bande longitudinale costale, blanc jaunâtre
B. munoïensis n. sp.
- Vertex et pronotum avec une bande longitudinale foncée, de part et d'autre de la carène médiane 4
4. Vertex nettement une fois et demie aussi large que long (voir fig. 201). 5
- Vertex moins large. Bord postérieur du septième segment abdominal de la ♀ transversal ou largement convexe. Sclérite à l'entrée de la bursa copulatrix en forme de V *B. inermis* FENNAH.
5. Bord postérieur du septième sternite abdominal de la ♀ saillant au milieu en deux lobes étroits (voir fig. 197) *B. bilobatus* FENNAH.
- Bord postérieur du septième sternite abdominal de la ♀ formant au milieu, un lobe rectangulaire qui est environ cinq fois aussi large que long (voir fig. 203) *B. kawandanus* FENNAH.
6. Vertex plus long que large (35 : 25), à bords latéraux fortement convergents vers l'avant où ils forment un angle arrondi (voir fig. 227). Élytres bruns, à cellules apicales plus ou moins foncées et une large bande blanchâtre le long du bord costal (voir fig. 226) *B. kivuensis* n. sp.
- Vertex aussi long que large ou un peu plus large que long 7
7. Élytres brun foncé, avec une large bande costale, une petite tache triangulaire à l'apex des premières nervures longitudinales ainsi que les nervures transversales, blanches (voir fig. 222). Vertex aussi long ou légèrement plus long que large, à bords latéraux fortement convergents vers l'avant (largeur à la base : 45; largeur apicale : 27) (voir fig. 221) *B. wittei* n. sp.
- Coloration des élytres différente. Vertex proportionnellement plus court 8
8. Vertex apicalement étroit (le rapport largeur basale/largeur apicale est de 1,62); bords latéraux légèrement concaves et convergents vers l'avant (voir fig. 214), deux taches noires sur chaque face latérale de la tête *B. dartevellei* n. sp.
- Vertex plus trapu; la valeur du rapport largeur basale/largeur apicale n'est que de 1,28; bords latéraux droits ou légèrement concaves. Une seule tache noire (sous les antennes) sur chaque face latérale de la tête 9
9. Bords latéraux du vertex légèrement concaves, se réunissant vers l'avant en un angle arrondi (voir fig. 217) *B. kabashensis* n. sp.
- Bords latéraux du vertex droits, se réunissant vers l'avant de façon nettement moins anguleuse que chez l'espèce précédente (voir fig. 210) ...
B. mongaensis n. sp.

[1. — **Ballomarius bilobatus** FENNAH.]

(Fig. 193 à 197.)

FENNAH, R. G., 1950, Bull. Brit. Mus. (Nat. Hist.), Entom., vol. I, n° 1, p. 129, fig. 87 et 88, *a-b*.

Ocre-brun. Sont brun-noir, une tache sous les antennes et une large bande longitudinale de chaque côté de la carène médiane des vertex, pronotum et scutellum; angles scapulaires du scutellum et abdomen, sauf le bord postérieur des segments, brun-rouge. Pattes foncées.

Genitalia ♀, voir figures 196, 197.

Distribution. — Uganda, Fort Portal.

[2. — **Ballomarius inermis** FENNAH.]

(Fig. 198 à 199.)

FENNAH, R. G., 1950, Bull. Brit. Mus. (Nat. Hist.), Entom., vol. I, n° 1, p. 131, fig. 89.

Coloration semblable à celle de l'espèce précédente. S'en distingue par les genitalia ♀ (voir fig. 198, 199) ainsi que par la face et le vertex beaucoup plus étroits⁽¹⁴⁾.

Distribution. — Côte d'Or, Sierra Leone (Njala).

3. — **Ballomarius kawandanus** FENNAH.

(Fig. 200 à 203.)

FENNAH, R. G., 1955, Ann. Mus. Roy. Congo Belge, in-8°, vol. 40, 2, p. 437, fig. 8 A-F.

D'après la description originale et les renseignements que m'a aimablement communiqués mon collègue R. J. IZZARD du British Museum, les caractères principaux définissant l'espèce sont les suivants⁽¹⁴⁾ :

1° Vertex environ une fois et demie aussi large que long, à bord antérieur largement arrondi et postérieur droit, pas profondément entaillé (fig. 201).

2° Bord postérieur du septième sternite abdominal de la ♀ avec saillie médiane rectangulaire (fig. 203).

3° Sclérite à l'entrée de la bursa copulatrix, en forme d'épine partant d'un croissant.

(14) Dans la lettre du 10 novembre 1958, R. J. IZZARD écrit ceci : « ... *B. inermis*, the vertex and face are much narrower than in *B. bilobatus*. On the other hand, *B. bilobatus* and *B. kawandanus* are very similar to each other... ».

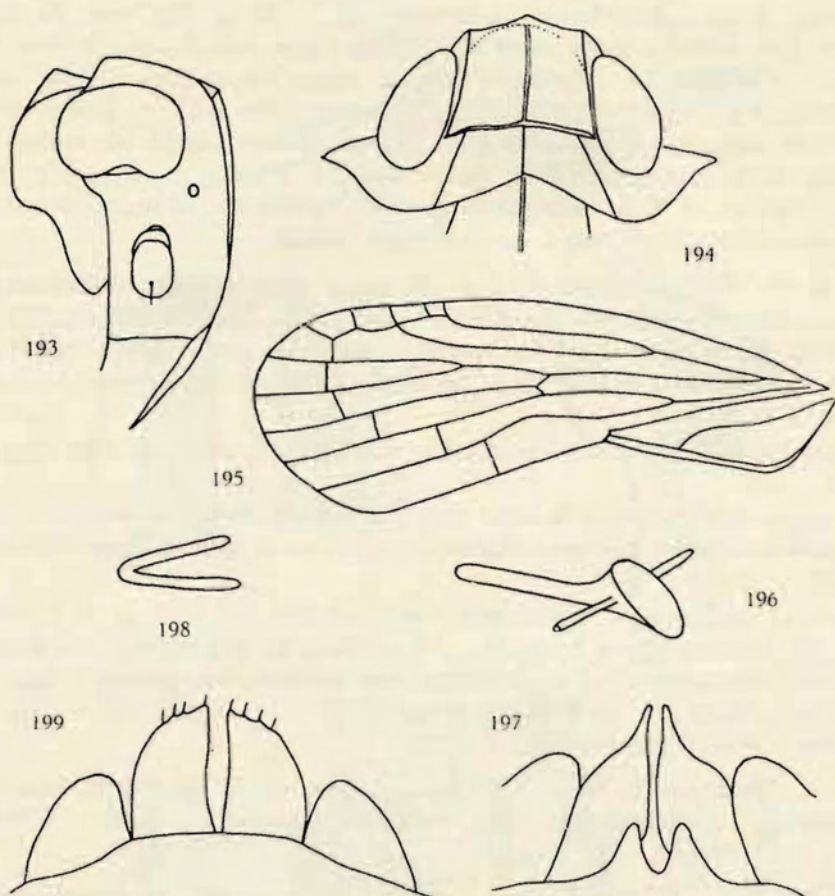


FIG. 193-197. — *Ballomarius bilobatus* FENNAH (sec. auct.).

193 : tête, vue de profil; 194 : vertex et pronotum; 195 : élytre; 196 : sclérite à l'entrée de la bursa copulatrix; 197 : bord postérieur du sternite pré-génital, parties latéroventrales du 8^e segment et lobes ventraux des premières valvules.

FIG. 198-199. — *Ballomarius inermis* FENNAH (sec. auct.).

198 : sclérite à l'entrée de la bursa copulatrix; 199 : bord postérieur du sternite pré-génital, parties latéroventrales du 8^e segment et lobes ventraux des premières valvules.

Le matériel à ma disposition se compose de :

1° Un exemplaire ♂ déterminé par FENNAH et se trouvant au Musée Royal du Congo Belge : Nyabikenke, 1.700 m, terr. Nyanza, 12.I.1953, P. BASILEWSKY. Cet exemplaire a servi à l'auteur pour décrire et illustrer les genitalia ♂ de l'espèce ⁽¹⁵⁾. Cependant, le vertex est nettement plus étroit que celui des ♀ ♀ que j'ai pu examiner et correspond à celui de *kabashensis*, une espèce nouvelle décrite plus loin. Les genitalia ♂ étant identiques, ce spécimen doit, par conséquent, être considéré comme paratype de cette espèce. Les figures et la description publiées par FENNAH se rapportent donc à *kabashensis* n. sp. et non à *kawandanus* FENNAH.

2° a) Six ♀ ♀ provenant du Parc National de l'Upemba, présentant les trois caractères énoncés plus haut et pouvant par conséquent être considérées avec certitude comme étant des *kawandanus* : Kabwe s. Muye, 1.320 m, 20.IV-5.V.1948; 13-14.V.1948; riv. Mubale, 1.480 m, 10.V.1947; Lusinga, 1.760 m, 9-18.IV.1949.

b) Un ♂, riv. Bowa, affl. dr. Kalule Nord, près Kiamalwa, 3.III.1949.

Le vertex est identique à celui des ♀ ♀ précédentes. Les genitalia sont malheureusement en mauvais état sauf un paramère qui est figuré ci-contre (fig. 202).

Dans un travail tout récent (1957, Bull. I.F.A.N., t. XIX, A, 4, p. 1292, fig. 7, *i-k*), FENNAH figure à nouveau les genitalia de son espèce. Ces dessins sont fort schématiques et le paramère, notamment, est présenté sous un angle qui ne met pas en évidence le petit lobe transversal qui me paraît avoir une forme constante dans l'espèce.

3° Une ♀ recueillie dans l'Uélé par la Miss. G. F. DE WITTE, 1933-1935 et présentant également les trois caractères énoncés plus haut : [Buta, 450 m, II-IV.1935].

4° Cinq ♀ ♀ semblables aux précédentes et provenant des collections du Musée Royal du Congo Belge : La Moto : Madyu, L. BURGEON; Benza Mazola, 13-15.VI.1911, R. MAYNÉ; Lulua : Kapanga, II.1934; Kisantu, 1931, R. P. VANDERYST; Tshela, 12.XI.1920, D^r H. SCHOUTEDEN.

5° Neuf ♀ ♀ provenant du Parc National Albert ont le vertex conforme ainsi que le sclérite se trouvant à l'entrée de la bursa copulatrix. Seulement, le bord postérieur du septième sternite abdominal est droit, sans saillie médiane rectangulaire : Kabasha, 950 m, 30.XI.1934; Rwindi, 1.000 m, 20-24.XI.1934; 22-24.XI.1934; escarpement de Kabasha, 1.500 m, 12.XII.1934; Ndeko, près de la Rwindi, 27.XI.1934; lac Édouard W., Bugazia, 13-16.V.1935, D^r H. DAMAS; Vitshumbi, 925 m, 27.IX-8.X.1933; riv. Ondo, affl. Rutshuru, 30.VII.1935, D^r H. DAMAS.

(15) Ann. Mus. Roy. Congo Belge, 1955, in-8°, vol. 40, 2, p. 437, fig. 8, A-F.

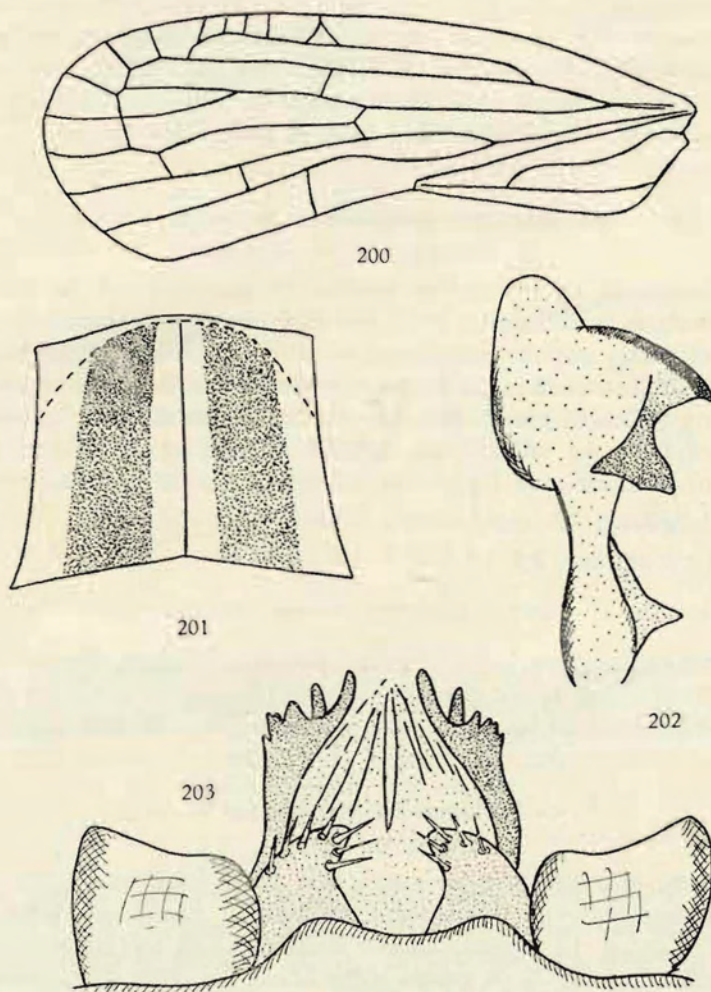


FIG. 200-203. — *Ballomarius kawandanus* FENNAH (♀).

200 : élytre, env. $\times 13$; 201 : vertex, env. $\times 100$; 202 : paramère, env. $\times 100$;
 203 : bord postérieur du sternite prégénital, parties latéroventrales du
 8^e segment abdominal et premières valvules, env. $\times 120$.

Pour ces exemplaires, il y a deux solutions possibles : a) le caractère du septième sternite n'est pas valable, et dans ce cas ce sont des *kawandanus*; b) le caractère est valable, et il s'agit alors d'une espèce distincte. La question ne pourrait être résolue que par l'examen d'un matériel plus important.

Remarque. — Les espèces *bilobatus*, *inermis* et *kawandanus* sont séparées notamment par la forme du petit sclérite se trouvant à l'entrée de la bursa copulatrix. D'après les figures données par l'auteur, les trois sclérites sont en effet très nettement différents l'un de l'autre. Par contre, le type de sclérite rencontré chez *kawandanus* se retrouve chez les ♀♀ de plusieurs autres espèces, notamment chez *B. mongaensis* n. sp.

[4. — **Ballomarius kawandanus porrectus** FENNAH.]

(Fig. 204 à 209.)

Morphologiquement et chromatiquement semblable à la sous-espèce typique. Genitalia, voir figures 204 à 209. Pygophore à angles dorso-latéraux distinctement mais pas fortement saillants vers l'arrière, arrondis. Édéage comme chez *B. kawandanus*, lobe ventral de la phallobase à angles latéro-apicaux s'arrondissant graduellement, pas brutalement, vers le bord apical qui est profondément entaillé au milieu; appendices phalliques allongés caudalement, tout au plus légèrement déclives, pas du tout incurvés.

Mâle : longueur, 3,7 mm; élytre, 4 mm.

Femelle : longueur, 3,9 mm; élytre, 4,2 mm.

Distribution. — Guinée française; Sénégal; Soudan français.

Cette sous-espèce, que je ne connais pas en nature, se distingue d'après l'auteur, par les lobes latéro-dorsaux du pygophore, qui sont plus nettement prolongés ainsi que par les détails des genitalia précédemment décrits.

5. — **Ballomarius mongaensis** n. sp.

(Fig. 210 à 213.)

Front ocre, allongé, près de deux fois aussi long que large, à bords latéraux bruns, légèrement convexes, relevés et carénés; disque déprimé de part et d'autre du milieu; carène médiane fort saillante, brun clair. Ocelles cerclés de rouge. Une grosse tache noire, brillante, sous les antennes. Vertex légèrement déclive, plus large à la base que long au milieu (27 : 18); bords latéraux divergents vers l'arrière, se réunissant en arc vers l'avant; largeur à l'avant, entre les pointes de l'arc, égale à la longueur; bord postérieur largement et anguleusement échancré; bords carénés et carène médiane saillante; jaune d'ocre, avec une large bande longitudinale brun-noir de chaque côté du milieu (fig. 210). Pronotum ocre-jaune, avec prolongation plus ou moins nette des bandes foncées du vertex; carènes latérales divergentes vers l'arrière, atteignant le bord postérieur qui est largement échancré; deux petites dépressions punctiformes sur le disque, de part et d'autre de la carène médiane. Scutellum jaune d'ocre avec prolongation des bandes du vertex et les angles scapulaires, brun foncé; plus de deux fois aussi long que vertex et pronotum réunis. Élytres ocre, avec nervures blanc jaunâtre

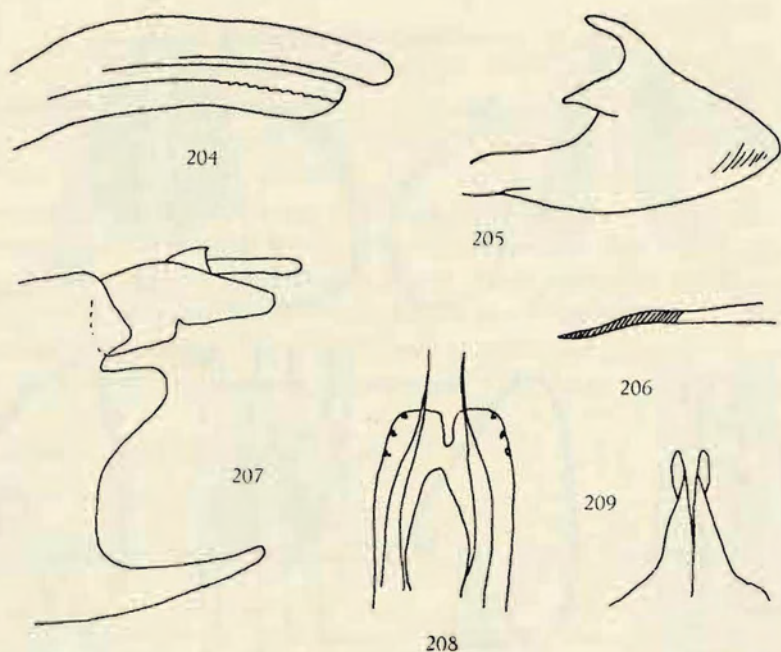


FIG. 204-209. — *Ballomarius kawandanus porrectus* FENNAH.

204 : phallobase de l'édéage, vue gauche; 205 : paramère; 206 : partie apicale d'un appendice phallique; 207 : segment anal et pygophore, côté gauche; 208 : moitié distale de l'édéage, vue dorsale; 209 : appendice médioventral de pygophore, vue ventrale.

et cellules apicales plus ou moins fortement brun foncé, surtout les externes; bifurcation *Sc+R* légèrement avant celle de *Cu* qui se fait au niveau de la réunion des nervures clavales, *Cl*₁, *Cl*₂; *M* bifurqué vers le milieu de l'élytre (voir fig. 213). Tibias postérieurs armés d'une seule épine située avant le milieu.

Genitalia ♂, voir figures 211, 212.

Longueur totale : environ 5 mm.

Type ♂ : Monga, 450 m, 18.IV-8.V.1935.

Paratypes : Parc National Albert (246 ex.) : Monga (riv. Bili), 450 m, 18.IV-8.V.1935; May-ya-Moto, 950 m, 5-9.XI.1934; Buta, II-IV.1935; 13.III.1935; 10.XI.1934; Rutshuru, 1.285 m, 6.VI.1935; 8.VII.1935; 1.100 m, 8.VII.1935; 4.VII.1935; 9.VII.1936; 1-6.VI.1935; Monga, 18.IV-8.V.1935; Kanyabayongo (Kabasha), 1.760 m, 7.XII.1934.

Musée Royal du Congo Belge (4 ex.) : Rutshuru, 11.V.1936, L. LIPPENS; territ. Rutshuru, 7.IV.1937, Miss. Prophylact.; Bumba, XII.1939-I.1940, H. DE SAEGER; Kivu : Kavimvira (Uvira) (à la lumière), II-III.1955, G. MARJER.

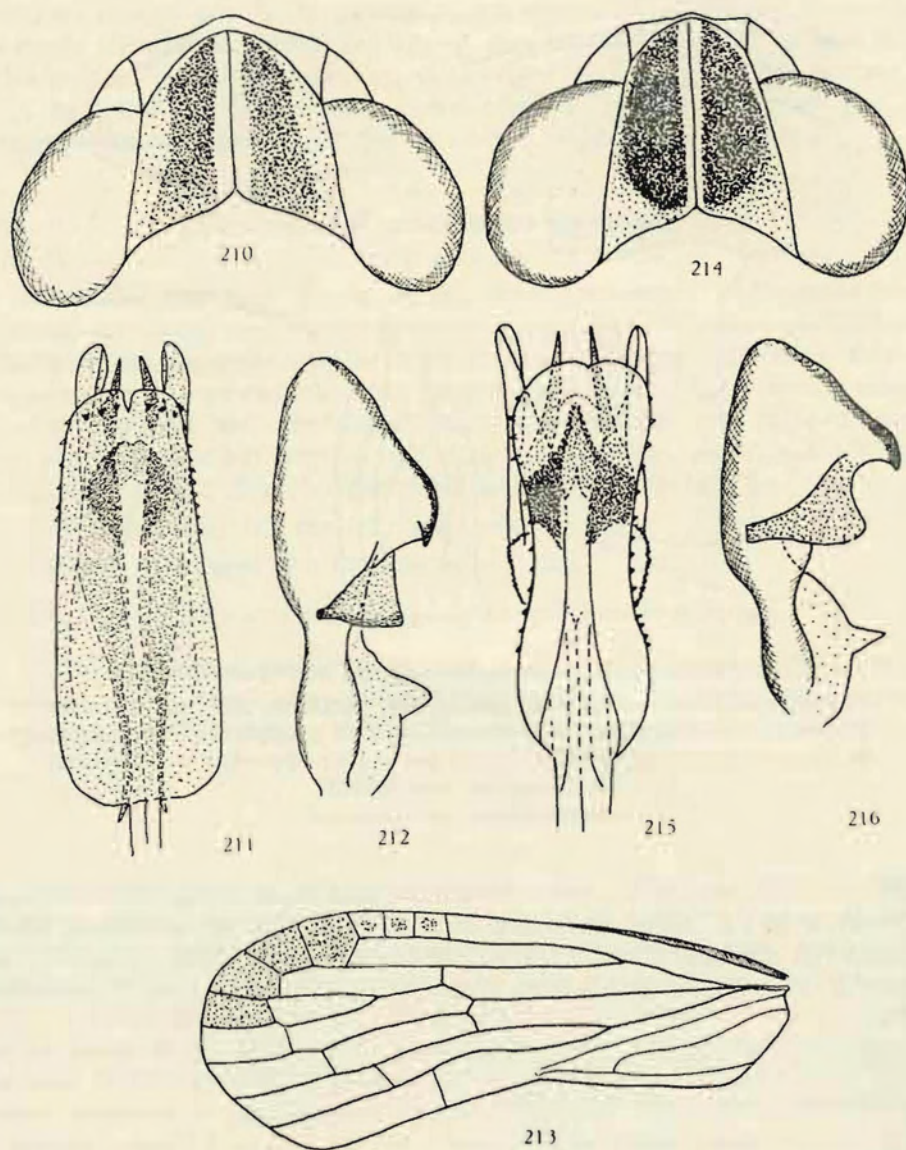


FIG. 210-213. — *Ballomarius mongaensis* n. sp. (♂).
 210 : vertex, env. $\times 80$; 211 : édéage, env. $\times 70$; 212 : paramère, env. $\times 70$;
 213 : élytre, env. $\times 16$.

FIG. 214-216. — *Ballomarius dartevellei* n. sp. (♂).
 214 : vertex, env. $\times 65$; 215 : édéage, env. $\times 60$; 216 : paramère, env. $\times 70$.

6. — **Ballomarius kabashensis** n. sp.

(Fig. 217 à 220.)

Proche des précédentes (*mongaensis*, *kawandanus*). En diffère par la forme et les dimensions relatives du vertex, la coloration de l'abdomen ainsi que par les genitalia ♂.

Vertex légèrement plus large à la base, que long au milieu (29 : 27), à bords latéraux convergents vers l'avant, légèrement concaves, relevés et carénés; carène médiane fortement saillante; bord antérieur anguleusement convexe, bord postérieur légèrement concave (voir fig. 217).

Abdomen brun foncé; bord postérieur de chaque segment étroitement bordé d'ocre (chez les espèces précédentes, l'abdomen est uniformément ocre).

Genitalia ♂, voir figures 218 à 220.

Longueur totale : de 5 à 6 mm.

Type ♂ : Kanyabayongo (Kabasha), 1.760 m, 6.XII.1934 (Parc National Albert).

36 paratypes : Parc National Albert (3 ex.) : Kanyabayongo (Kabasha), 1.760 m, 8.XII.1934; lac Kibuga, S. Rutshuru, 27.VII.1935 (H. DAMAS).

Parc National de l'Upemba (31 ex.) : riv. Munte, 1.480 m, 22.IV.1947; 16.V.1947; riv. Mubale, 1.480 m, 10.V.1947; 9.V.1947; Mukana, 1.810 m, 22-23.IV.1949; riv. Lufwa, 1.700 m, 16.I.1948; gorges de la Pelenge, 1.150 m, 10-14.VI.1947; Lusinga, 1.760 m, 23.IV.1949; rég. confl. Mubale-Munte, 1.480 m, 13-18.V.1947; Mukana-Lusinga, 1.810 m, 15-19.I.1948; Kabwe s/Muye, affl. dr. Lufira, 1.320 m, 6-12.V.1948.

Musée Royal du Congo Belge (3 ex.) : Elisabethville, IV.1939, H. J. BRÉDO; N. lac Kivu : Rwankwi, 15-30.IV.1948, J. V. LEROY

[7. — **Ballomarius dartevellei** n. sp.]

(Fig. 214 à 216.)

Semblable au précédent dont il ne se distingue que par la forme, les proportions et la coloration du vertex ainsi que par les genitalia ♂. Vertex environ aussi long au milieu, que large à la base (25 : 26), à bords latéraux légèrement convexes, assez fortement convergents vers l'avant (largeur à l'avant : 16, largeur à la base : 26), fortement relevés et carénés (surtout vers l'arrière); bord antérieur anguleusement convexe et carène médiane fortement saillante; coloration ocre-jaune sauf une bande longitudinale brun-noir de part et d'autre de la carène médiane, se terminant avant le bord postérieur (fig. 214). Latéralement, au-dessus de chaque œil, une tache noire en plus de celle qui se trouve sous les antennes.

Genitalia ♂, voir figures 215, 216.

Longueur totale : environ 5 mm.

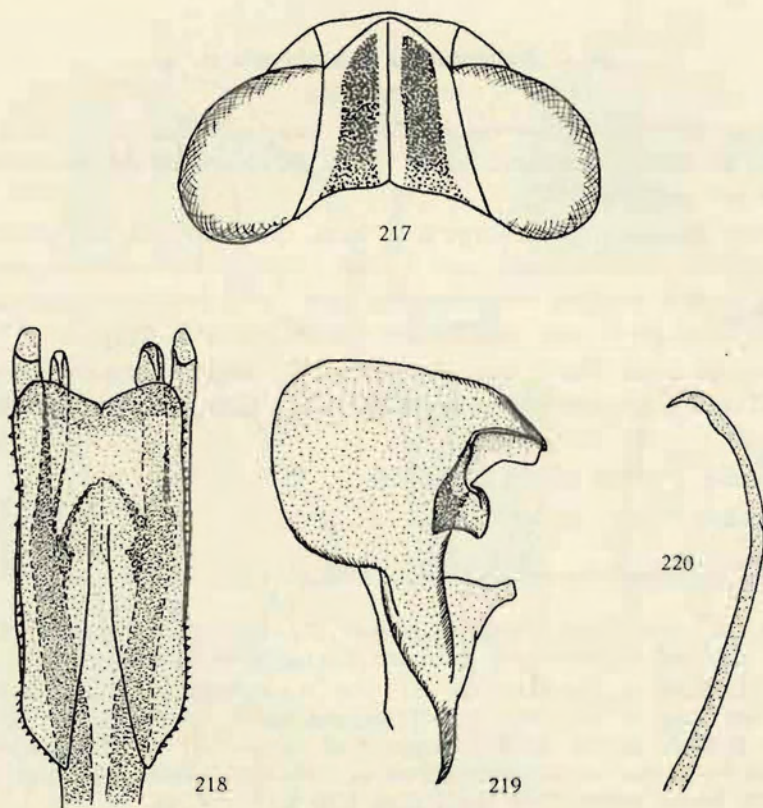


FIG. 217-220. — *Ballomarius kabashensis* n. sp. (♂).

217 : vertex, env. $\times 70$; 218 : édéage, env. $\times 60$; 219 : paramère, env. $\times 70$;
220 : appendice phallique, env. $\times 70$.

Type ♂ : Boma, 11.III.1937, D^r E. DARTEVELLE (Musée Royal du Congo Belge).

4 paratypes : même localité; Tshuapa : Ikela, 1955, R. P. LOOTENS; Kivu : Kavimvira (Uvira), XII.1954, G. MARLIER (à la lumière); Katanga : Kadia, 4.IV.1925, G. F. DE WITTE (Musée Royal du Congo Belge).

[8. — *Ballomarius wittei* n. sp.]

(Fig. 221 à 225.)

Se distingue principalement des précédents, par la forme et les dimensions relatives du vertex ainsi que par la coloration très caractéristique des élytres.

Vertex aussi long que large, à bords latéraux très légèrement concaves, plus fortement convergents vers l'avant que chez *dartevellei* (voir fig. 221) ocre-jaune, avec une large bande longitudinale noire de part et d'autre du

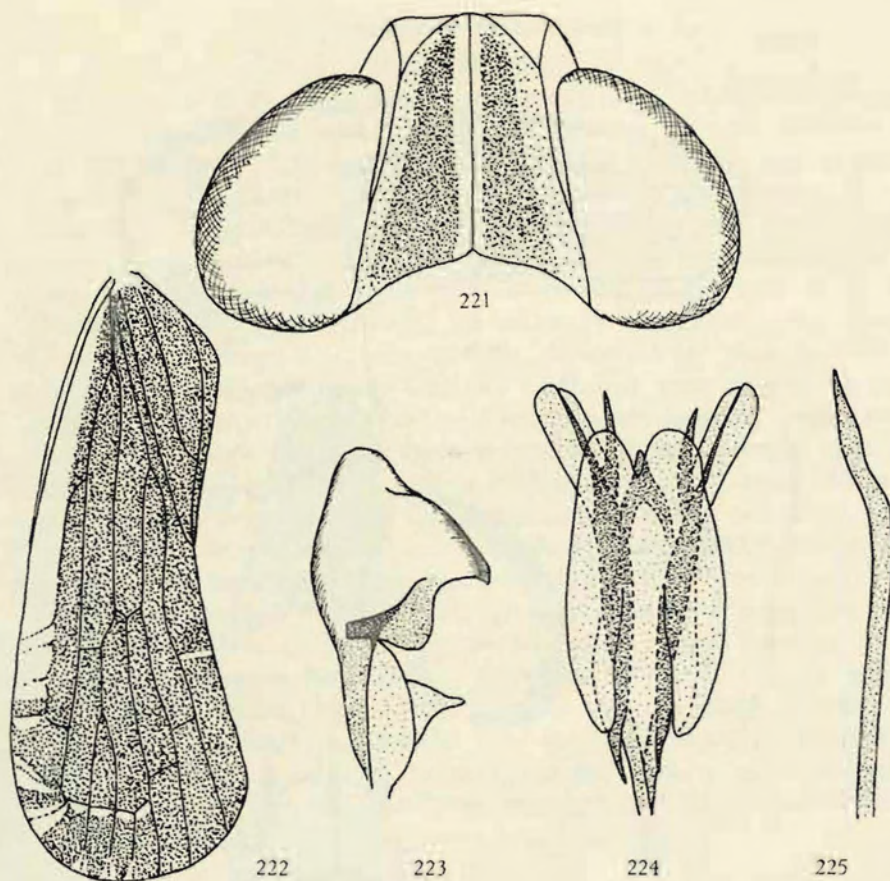


FIG. 221-225. — *Ballomarius wittei* n. sp. (♂).

221 : vertex, env. $\times 80$; 222 : élytre, env. $\times 15$; 223 : paramère, env. $\times 60$;
224 : édéage, env. $\times 70$; 225 : appendice phallique, env. $\times 90$.

milieu, atteignant le bord postérieur. Élytres brun foncé, sauf une large bande costale, une petite tache triangulaire à l'apex des premières nervures longitudinales et les nervures transversales, qui sont blanches (voir fig. 222); *Sc + R* et *Cu* bifurquant au même niveau et à peu près à la hauteur de Cl_1 Cl_2 .

Genitalia ♂, voir figures 223 à 225.

Longueur totale : environ 5 mm.

Type ♂ : Rutshuru, 1.250 m, 4.VII.1935 (Parc National Albert).

1 paratype : même localité, XII.1937, J. GHESQUIÈRE (Musée Royal du Congo Belge).

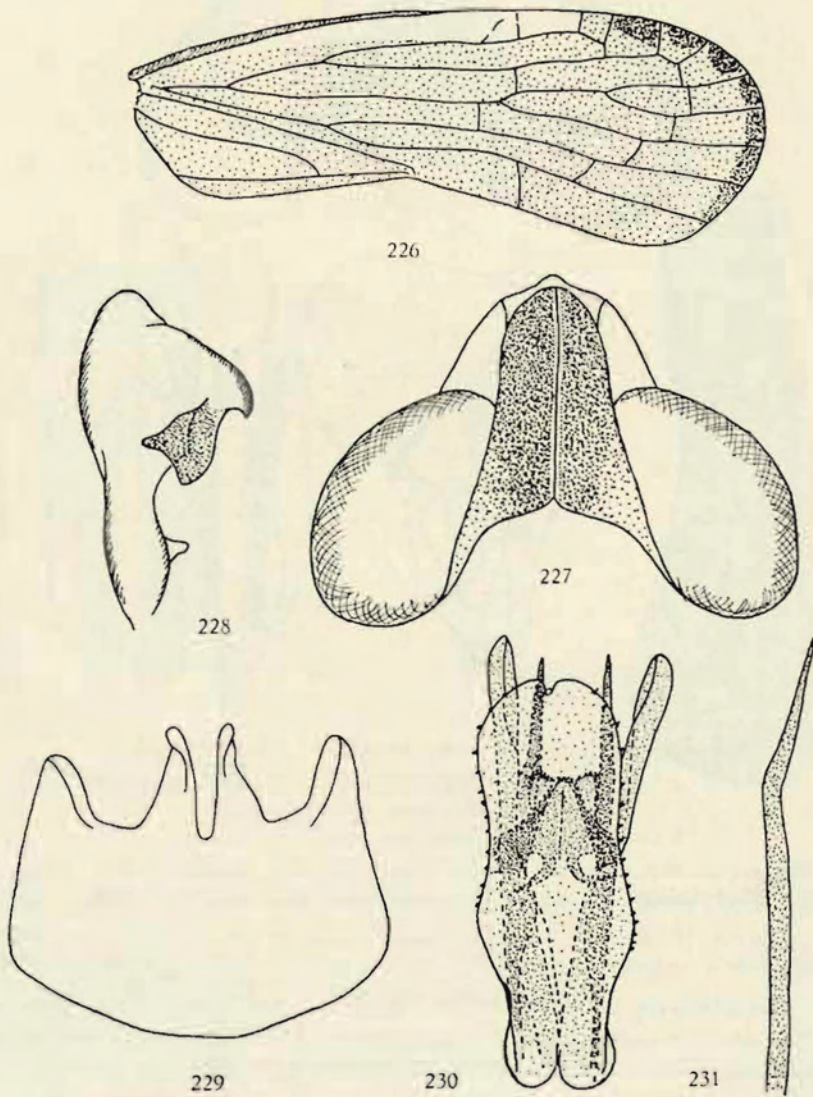


FIG. 226-231. — *Ballomarius kivuensis* n. sp. (♂).

226 : élytre, env. $\times 13$; 227 : vertex, env. $\times 60$; 228 : paramère, env. $\times 60$;
 229 : pygophore vu de face, env. $\times 60$; 230 : édéage, env. $\times 60$;
 231 : appendice phallique, env. $\times 70$.

9. — **Ballomarius kivuensis** n. sp.

(Fig. 226 à 231.)

Cette espèce se distingue très nettement de toutes les précédentes par un vertex triangulaire, allongé et étroit ainsi que par l'absence de tache noire sous les antennes. Front près de deux fois aussi long, que large à la suture clypéale (38 : 20); largeur apicale environ trois fois supérieure à la largeur basale (20 : 7); bords latéraux fortement divergents vers le bas, relevés, carénés et légèrement foliacés vers l'apex; carène longitudinale saillante; blanc jaunâtre, avec une ligne plus foncée de chaque côté de la carène médiane. Pas de tache noire sous les antennes. Vertex nettement plus long au milieu, que large à la base (35 : 25), dépassant les yeux de près de la moitié de sa longueur; bords latéraux fortement relevés, foliacés, convergents vers l'avant où ils se réunissent en un angle arrondi; carène médiane fortement saillante, de même hauteur que les bords latéraux; brun foncé, sauf les bords latéraux et la carène médiane qui sont jaunâtres (fig. 227). Pronotum ocre brunâtre, sauf une grosse tache blanche sur chaque épaule. Tegulae blanches, prolongeant les taches du pronotum et formant une bande blanche continue avec ces derniers et le bord costal des élytres; carènes latérales divergentes vers l'arrière, atteignant le bord postérieur qui est anguleusement échancré; sur le disque, de chaque côté de la carène médiane, une petite dépression punctiforme. Scutellum brunâtre, à angle postérieur blanc. Élytres bruns, avec cellules apicales plus ou moins foncées et une large bande blanchâtre le long du bord costal jusqu'avant l'apex; Cl_1 Cl_2 , bifurcation $Sc+R$ et celle de Cu quasi sur un même plan; M bifurqué au niveau du stigma (fig. 226). Abdomen ocre-brun. Pattes jaune d'ocre; tibias postérieurs armés d'une épine située avant le milieu.

Genitalia ♂, voir figures 226 à 231.

Longueur totale : environ 5,5 mm.

Type ♂ : Rutshuru, 1.285 m, 1-6.VI.1935.

119 paratypes : Parc National Albert (92 ex.) : même localité, 4.VII.1935; 2.VII.1935; S. lac Edouard, riv. Rwindi, 1.000 m, 4.II.1936 (L. LIPPENS); Rutshuru, riv. Fuku, 1.250 m, 2.VII.1935.

Parc National de l'Upemba (1 ex.) : Mabwe, lac Upemba, 585 m, 1-12.VIII.1947.

Musée Royal du Congo Belge (26 ex.) : terr. Rutshuru, 15.VI.1937, Miss. Prophylact.; Ruanda : contref. E. Muhavura, 2.100 m, 28.I.1953, P. BASILEWSKI; Nyonga, 11.I.1928, Dr RODHAIN; Rutshuru, II.V.1936, L. LIPPENS; Kivu : Kavimvira (Uvira), 30.IV.1955, G. MARLIER; Rutshuru (Fuku), II.V.1936, L. LIPPENS.

L'exemplaire ♀ récolté au Ruanda par M. P. BASILEWSKY, avait été déterminé par FENNAH sous le nom de *Caristianus* sp. ⁽¹⁶⁾. Tout en recon-

(16) FENNAH, R. G., 1955, Ann. Mus. Congo, Tervuren, in-8°, Zool., vol. 40, p. 439.

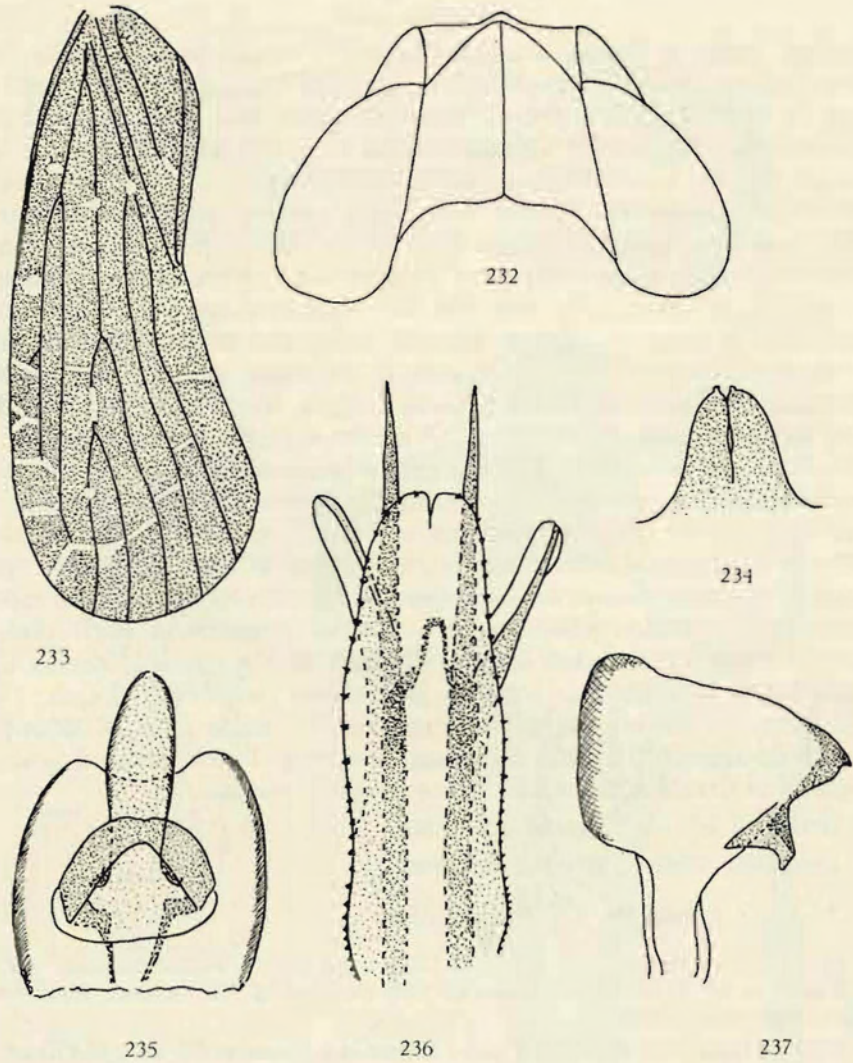


FIG. 232-237. — *Ballomarius guttatus* FENNAH (♂).

232 : vertex, env. $\times 80$; 233 : élytre, env. $\times 15$; 234 : appendice médioventral du pygophore, env. $\times 70$; 235 : tube anal, env. $\times 70$; 236 : édéage, env. $\times 70$; 237 : paramère, env. $\times 70$.

naissant que la forme et les proportions relatives du vertex et du front correspondent à celles du genre *Caristianus*, je crois préférable de ne pas y rapporter l'espèce, étant donné les caractères suivants qui sont en contradiction avec la description :

1° la base du vertex n'est pas tronquée, mais anguleusement échancrée;

2° le clavus se termine avant le milieu de l'élytre;

3° la nervulation des élytres est différente et notamment les bifurcations de *Sc+R* et *Cu* qui se trouvent à peu près au même niveau alors que chez *Caristianus* la bifurcation de *Sc+R* se trouve nettement avant celle de *Cu*.

Il est possible que cette espèce, de même que la précédente (*B. wittei*) doive faire partie d'un genre nouveau qui serait intermédiaire entre *Ballo-marius* et *Caristianus*.

10. — *Ballomarius guttatus* FENNAH.

(Fig. 232 à 237.)

FENNAH, R. G., 1955, Ann. Mus. Congo Belge, in-8°, Zool., 40, p. 438, fig. 9 a-f.

Front plus long que large (28 : 18); ocre-jaune. Une tache brun-noir sur les joues, sous les antennes. Vertex légèrement plus large à la base, que long au milieu (28 : 24); brun foncé, à bords latéraux et carène médiane ocre-jaune (fig. 232). Pronotum ocre-jaune. Scutellum brun clair. Élytres teintés de brun, avec quelques taches blanchâtres, notamment : trois en travers du tiers basal et deux dans la cellule costale; nervures transversales blanchâtres; bifurcation *Sc+R*, celle de *Cu* et *Cl₁* *Cl₂* au même niveau, vers le tiers basal de l'élytre, celle de *M* au niveau du stigma; clavus court, se terminant nettement avant le milieu de l'élytre (fig. 233).

Genitalia ♂, voir figures 234 à 237.

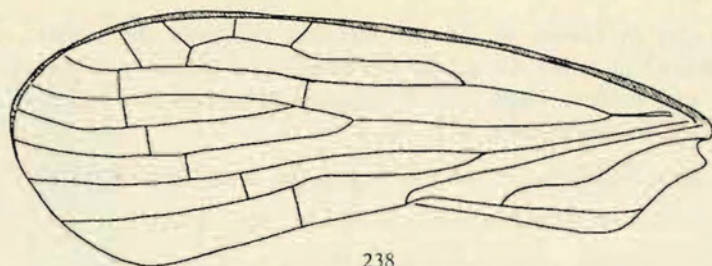
Longueur totale : environ 5 mm.

Distribution. — Ruanda, contrefort Est du Muhavura; Kivu; Uele; Maniema; Haut-Lomami.

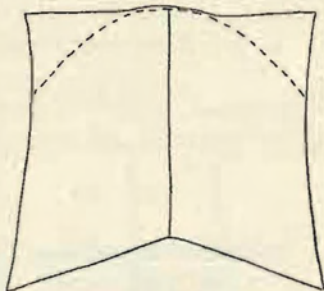
Parc National Albert (28 ex.) : May-ya-Moto, 950 m, 10.XI.1934; Rutshuru (riv. Fuku), 1.250 m, 5.VIII.1935; Monga, 450 m, 18.IV-8.V.1935; Kamande, 925 m, 8.V.1935; Tshambi, 975 m, 28.X-7.XI.1953; Rutshuru (Lubirizi), 1.285 m, 13.VII.1935; Rutshuru (riv. Musugereza), 1.100 m, 8.VII.1935; Rutshuru, 1.285 m, 29-31.V.1935; 6.VI.1935; 6-8.VI.1934.

Parc National de l'Upemba (10 ex.) : Kabwe s/Muye, 1.320 m, 6-12.V.1948; 26.IV-5.V.1948; Kaziba, affl. g. Senze, affl. dr. Lufira, 1.140 m, 8-14.II.1948; 24.II.1948; 11-15.II.1948; 19.II.1948; Lusinga, 1.760 m, 15.III.1947.

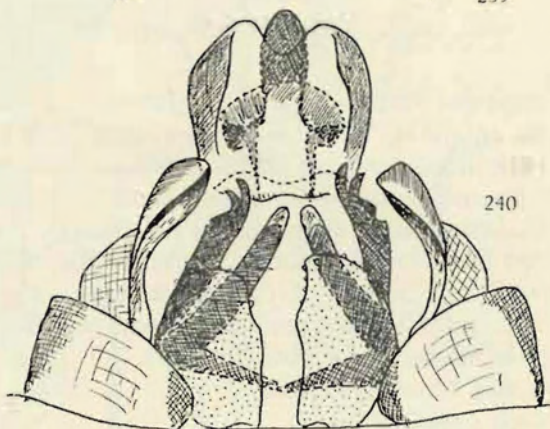
Coll. Musée Royal du Congo Belge, Tervuren (11 ex.) : Rutshuru, 9.XII.1937, J. GHESQUIÈRE; Kivu; Katana, 1933, D^r DE WULF; territ. Rutshuru, VII.1937, Miss. Prophyl.; Lulua, Kapanga, II.1934, G. F. OVERLAET; Uele, Paulis, 1949, ABBELOOS; escarpement Kabasha, Tshambi, X.1933, D^r DE WULF; Maniema, terr. Kasongo, Mwana-Russu, 22.X.1954, N. LELEUP.



238



239



240

FIG. 238-240. — *Ballomarius munoïensis* n. sp. (♀).

238 : élytre, env. $\times 15$; 239 : vertex, env. $\times 80$; 240 : bloc génital ♀, env. $\times 150$.

11. — *Ballomarius munoïensis* n. sp.

(Fig. 238 à 240.)

Se distingue de toutes les espèces précédentes par un vertex et un pronotum uniformément ocre pâle ainsi que par des élytres brunâtres à nervures concolores et à cellule costale jaunâtre. Vertex plus large au sommet de la découpe basale, que long au milieu (29 : 20); bords latéraux légèrement concaves, antérieur largement convexe et postérieur plus fortement découpé en angle que chez *B. kawandanus* FENNAH; carène médiane nette et fossettes

antérieures présentes; ocre pâle (fig. 239). Une tache noire, ronde, sous chaque antenne. Pronotum beaucoup plus court que le vertex (presque de moitié), à carènes latérales légèrement concaves et divergentes vers l'arrière, atteignant le bord postérieur qui est profondément et anguleusement découpé. Scutellum brun clair; plus de deux fois aussi long que vertex et pronotum réunis (68 : 29). Élytres environ trois fois aussi longs que larges; clavus court, se terminant après le tiers basal de l'élytre; bifurcation de *Cu* à peu près au même niveau que la réunion des nervures clavales (*Cl*₁, *Cl*₂), celle de *Sc + R* légèrement après celle de *Cu* et peu avant l'apex du clavus; bifurcation de *M* avant le stigma, sa branche externe bifurquant à nouveau immédiatement après; cellules apicales assez longues; coloration générale brune, à nervures concolores; une bande longitudinale le long du bord costal, est blanc jaunâtre et atteint la radiale (fig. 238). Thorax et pattes blanc jaunâtre; abdomen ocre pâle. Tibias postérieurs armés d'une seule épine avant le milieu (sur un spécimen, le tibia postérieur gauche en présente deux, situées sur le milieu).

Genitalia ♀, voir figure 240.

Longueur totale : 4,5 à 5 mm.

Type ♂ : Munoï, bif. Lupiala, 890 m, 6-15.VI.1948 (Parc National de l'Upemba).

5 paratypes : même localité; 1-5.VI.1948; Kaziba, 1.140 m, 19.II.1948; Ganza, pr. riv. Kamandula, affl. dr. Lukoka, 860 m, 4-6.VII.1949; Kanonga, affl. dr. Fungwe, 700 m, 17-22.II.1949 (Parc National de l'Upemba).

[19. — Genre **EPIUSANA** FENNAH.]

FENNAH, R. G., 1950, Bull. Brit. Mus. (Nat. Hist.), Entom., vol. I, n° 1, p. 137.

Ce genre ayant été décrit sur une seule femelle conservée au British Museum et cette institution refusant la communication des types, je ne puis qu'en donner les caractères principaux d'après la description originale.

Front plus long que large (1,8 : 1), la partie la plus large environ une et demie fois la largeur à la base, à carène médiane nette, bords latéraux carénés, légèrement convexes jusque sous le niveau des antennes, ensuite progressivement incurvés vers la suture clypéo-frontale; disque non déprimé. Vertex non déclive, tricaréné, plus large à la base, que long au milieu, avec carène médiane; bord antérieur caréné formant un angle de 90° légèrement tronqué; bords latéraux droits, divergents vers l'arrière; bord postérieur subtronqué ou très légèrement concave; disque très peu déprimé; une aréole distincte dans chaque angle latéro-apical de la tête. Pronotum modérément long, à bord antérieur convexe et tronqué, à bord postérieur largement concave, avec trois carènes discales dont les latérales sont droites et atteignent le bord postérieur; bord ventral des lobes latéraux, oblique. Scutellum tricaréné. Tibias antérieurs environ aussi longs que fémurs et

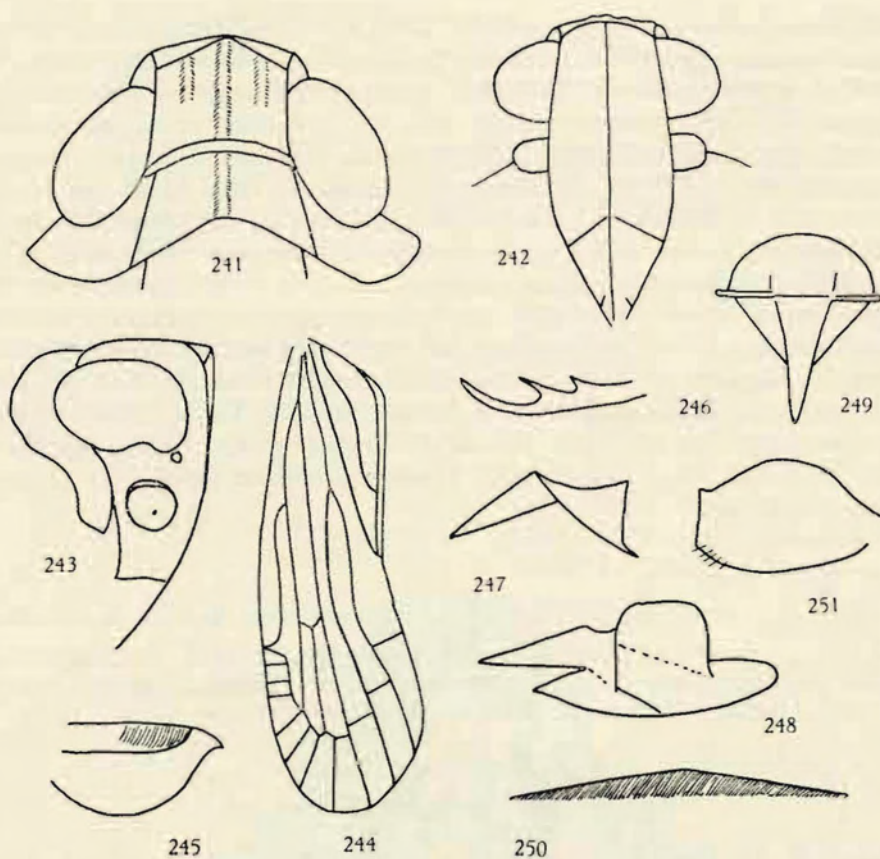


FIG. 241-251. — *Epiusana rugiceps* FENNAH (sec. auct.).

241 : vertex et pronotum; 242 : front et clypéus; 243 : tête vue de profil; 244 : élytre;
 245 : 2^e valvule, vue latérale; 246 : apex d'une première valvule; 247 à 249 : vues
 latérale, postérolatérale et dorsale du sclérite à l'entrée de la bursa copulatrix;
 250 : bord postérieur du sternite pré-génital; 251 : 3^e valvule.

trochanters réunis. Élytres trois fois aussi longs que larges; bifurcation $Sc+R$ au même niveau que Cu et environ au même niveau que Cl_1, Cl_2 ; bifurcation de M seulement un peu avant la ligne nodale; bifurcation M_{1+2} à la ligne apicale de nervures transversales ou tout près; cinq aréoles dans Sc et R après le stigma; cellules apicales plus courtes que les subapicales mais nettement plus longues que larges; clavus se terminant au milieu de l'élytre ou légèrement avant.

Génotype : *Epiusana rugiceps* FENNAH.

Distribution. — Nyasaland : Mt. Mianje

[1. — *Epiusana rugiceps* FENNAH.]

(Fig. 241 à 251.)

FENNAH, R. G., 1950, Bull. Brit. Mus. (Nat. Hist.), Entom., vol. I, n° 1, p. 138, fig. 95.

Vertex avec trois carènes longitudinales dont les latérales sont écourtées vers l'arrière (fig. 241).

Jaune pâle; carènes du vertex et du pronotum, blanc jaunâtre; une ligne de chaque côté de la carène médiane et une tache linéaire à côté des carènes latérales, noires. Élytres blanc jaunâtre très pâle, avec une trace de brun clair à l'apex de la cellule costale.

Genitalia ♀, voir figures 245 à 251.

Distribution. — Nyasaland: Mt. Mlanje.

[2. — *Epiusana* (?) *bocchar* FENNAH.]

(Fig. 252 à 259.)

FENNAH, R. G., 1958, Bull. I.F.A.N., t. XX, A, 2, p. 503, fig. 14, 1-8.

Vertex aussi long, que large à la base de la ligne médiane; carène médiane nette sur toute sa longueur. Front plus long au milieu, que large (1,1 : 1); bords latéraux arqués, carène médiane nette, disque transversalement convexe. Tibias postérieurs avec une simple épine latérale et sept apicales. Brun grisâtre ou jaune grisâtre. Élytres avec trois courtes stries obliques dans la cellule costale et une tache diffuse à la base et à l'apex de chaque cellule apicale, brun foncé; petites nervures du stigma et nervures transversales de la ligne nodale, jaunâtre pâle, autres nervures concolores. Ailes blanc sale, nervures brunâtres. Segment anal du mâle, court; angles latéro-apicaux assez fortement saillants vers l'arrière en un lobe étroit. Pygophore à bord latéral légèrement saillant vers l'arrière; appendice médio-ventral bifide; une profonde incision entre chaque lobe; lobes étroits, rétrécis vers l'apex où ils sont tordus. Édéage tubulaire, bilatéralement symétrique; lobes latéraux étroits, très légèrement rétrécis vers l'apex où ils sont arrondis et présentent quelques petites dents à la base du bord dorsal; lobe ventral médian de la phallobase allongé, de forme ovalaire; bord apical avec profonde incision angulaire qui présente un fort appendice médian dirigé ventralement; une rangée de petites dents, largement espacées, le long des bords latéraux; appendices phalliques étroits, avec une épine saillante vers l'arrière et partant de la partie la plus basse de l'apex arrondi; la membrane pigmentée basalement de cette épine. Paramères, voir figure 258.

Genitalia de la femelle similaires à ceux de l'espèce type.

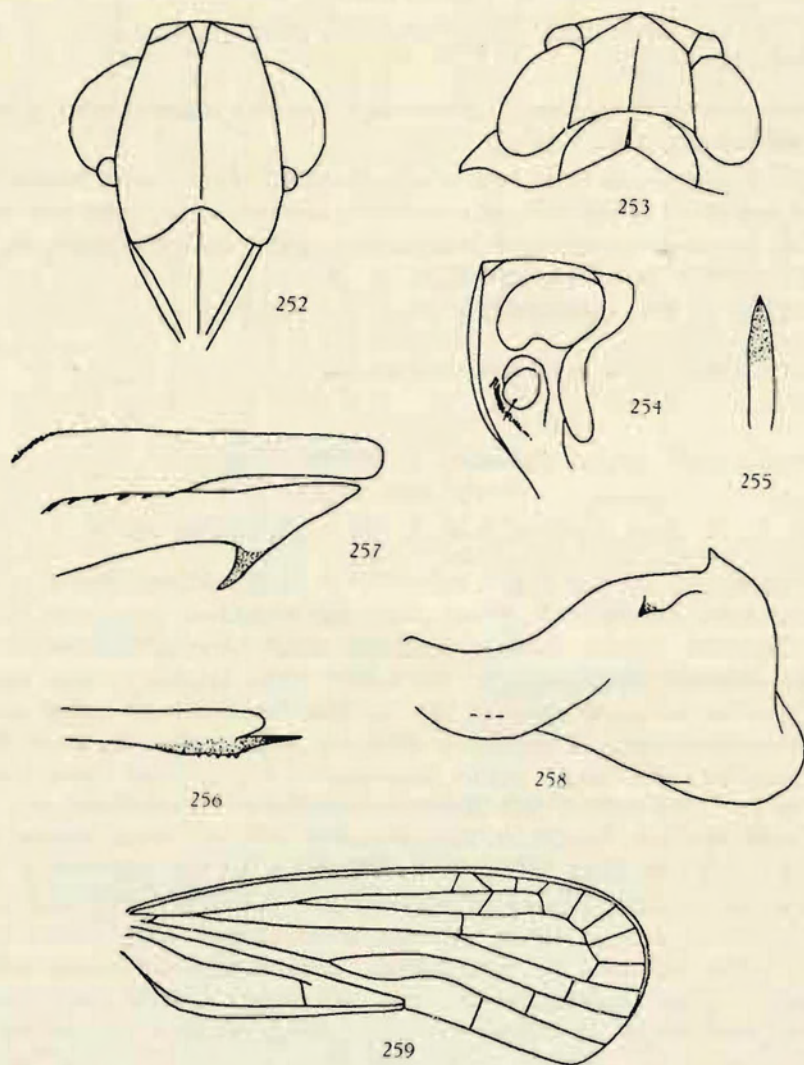


FIG. 252-259. — *Epiusana bocchar* FENNAH (sec. auct.).

252 : front et clypéus; 253 : vertex et pronotum; 254 : tête de profil; 255 : partie apicale de l'appendice phallique, vue dorsale; 256 : idem, vue latérale; 257 : phallobase de l'édéage, côté gauche; 258 : paramère gauche; 259 : élytre.

Mâle : longueur, 3,2 mm; élytre, 3,4 mm. Femelle : longueur, 3,3 mm; élytre, 3,6 mm.

Distribution. — Sénégal; Guinée française.

Cette espèce diffère de l'espèce type par l'absence des rides longitudinales submédianes du vertex, par la forme de ce dernier et du front et par de petits détails de coloration.

[20. — Genre **NYONGA** nov.]

Front allongé, à bords latéraux divergents vers le bas, d'abord légèrement concaves, ensuite convexes vers le clypéus; carène médiane saillante se prolongeant sur le clypéus. Vertex presque triangulaire; carène antérieure formant un angle aigu et se joignant de chaque côté aux carènes latérales, vers le milieu du vertex; bords latéraux relevés et carénés, carène médiane saillante; fossettes antérieures grandes et nettes; carène séparant le front du vertex et limitant antérieurement les fossettes latérales, nette. Pronotum avec trois carènes dont les latérales atteignent le bord postérieur sont concaves et sont à peu près deux fois aussi longues que la médiane; deux carènes sur les épaules, entre l'œil et la tegula. Scutellum bombé, tricaréné. Élytres environ trois fois aussi longs que larges; clavus se terminant au milieu de la longueur; jonction des nervures clavales nettement après le milieu du clavus; bifurcation de *Cu* au même niveau que *Cl*₁ *Cl*₂; bifurcation *Sc*+*R* légèrement après celle de *Cu*; celle de *M* au niveau de la pointe du clavus. Tibias postérieurs armés d'une seule épine.

Génotype : *Epiusana satyrus* FENNAH.

Distribution. — Cameroun français.

Proche d'*Epiusana* et d'*Aphyppia*. Se distingue du premier par la forme du vertex et du front, par l'absence des trois carènes sur le vertex et par l'absence des cinq aréoles entre *Sc*+*R* et le bord costal, après le stigma. Diffère d'*Aphyppia* par la forme du front et du vertex, par la présence d'une carène médiane fort saillante sur le vertex et par la netteté de la carène qui délimite vers l'avant, les compartiments triangulaires du vertex et qui sépare le front de ce dernier. Ces fossettes triangulaires sont également beaucoup plus grandes chez *Nyonga*.

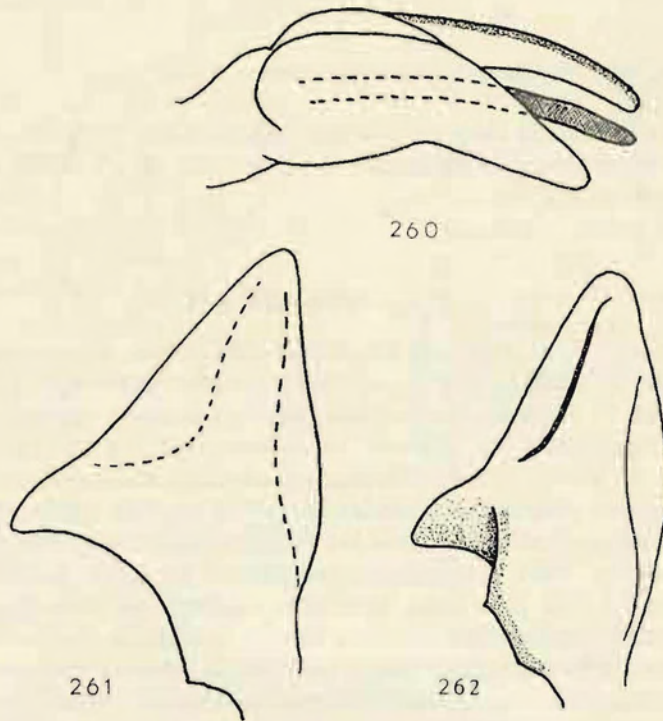


FIG. 260-262. — *Nyonga satyrus* FENNAH.

260 : édéage, vue latérale gauche, env. $\times 100$;
261 et 262 : deux aspects d'un paramère.

[*Nyonga satyrus* FENNAH.]

(Fig. 260 à 262.)

FENNAH, R. G., 1957, Bull. I.F.A.N., t. XIX, A, 4, p. 1294, *Epiusana satyrus*.

Front environ aussi long au milieu, que large à sa largeur maxima; bords latéraux divergents, légèrement convexes vers le clypéus; base convexe; carène médiane nette sur toute sa longueur et prolongée sur le clypéus; ocre-jaune, avec une bande brune le long de la carène médiane. Vertex à peu près aussi long que large, déclive vers l'avant, presque triangulaire, à bords latéraux fortement convergents vers l'avant, à partir du milieu, et formant un angle antérieur aigu; fossettes triangulaires antérieures très grandes, commençant vers le milieu du disque et nettement limitées par une carène antérieure; bords latéraux carénés, mais beaucoup moins nettement que la carène médiane qui est épaisse et fort saillante; ocre-jaune, avec une

bande brun foncé sur la carène médiane et une tache brune sur chaque angle postérieur; fossettes antérieures plus foncées. Pronotum ocre-jaune, environ plus court de moitié que le vertex; carènes latérales un peu plus de deux fois aussi longues que la médiane, légèrement concaves; deux carènes sur les épaules entre l'œil et la tegula. Scutellum près de deux fois et demie aussi long que vertex et pronotum réunis, bombé vers l'avant; jaunâtre, avec deux traits longitudinaux bruns entre les carènes et immédiatement sous le bord postérieur du pronotum. Élytres jaunâtres, recouverts d'une pruinosité blanche; bifurcation $Cl_1 Cl_2$ après le milieu du clavus; $Sc+R$ légèrement après la bifurcation de Cu , cette dernière se faisant à peu près au niveau de $Cl_1 Cl_2$; bifurcation de M au niveau de l'apex du clavus. Cellules apicales et une légère bande le long de $Sc+R$, faiblement brunâtres. Tibias postérieurs armés d'une épine vers le tiers antérieur.

Genitalia ♂, voir figures 260 à 262.

Longueur totale : environ 6,8 mm.

Distribution. — Cameroun français.

21. — Genre **EPIUSANELLA** nov.

Ce genre est proche de *Ballomarius*, *Epiusana*, *Usana* et *Opsiplanon*. Diffère d'*Usana* et *Opsiplanon* par l'absence de nombreuses branches apicales à $Sc+R$ et de *Ballomarius*, parce que le clavus se termine au milieu de l'élytre et que la carène médiane du pronotum n'a pas moins de la moitié de la longueur du vertex. Il diffère enfin d'*Epiusana* parce qu'il n'a pas les trois rides longitudinales sur le vertex et les cinq aréoles distalement du stigma.

Front nettement plus long que large, à bord supérieur anguleusement convexe et bords latéraux divergents vers l'apex; disque non creusé; carène médiane non prolongée sur le clypéus. Vertex légèrement plus large que long, à bord antérieur convexe, bords latéraux concaves et divergents vers l'arrière, bord postérieur largement échancré; une carène médiane nette. Pronotum plus long au milieu, que la moitié du vertex, à carènes latérales droites, divergentes vers l'arrière, atteignant ou presque, le bord postérieur; ce dernier profondément échancré; une carène sur les épaules, entre l'œil et la tegula. Scutellum environ deux fois et demie aussi long que vertex et pronotum réunis. Élytres environ trois fois aussi longs que larges; clavus se terminant au milieu; bifurcation $Sc+R$ et celle de Cu à peu près au même niveau, un peu apicalement de $Cl_1 Cl_2$, bifurcation de M au niveau du stigma. Tibias postérieurs armés d'une épine avant le milieu.

Génotype : *Epiusanella bimaculata* n. sp.

Distribution. — Congo Belge : Kivu; Bas-Congo.

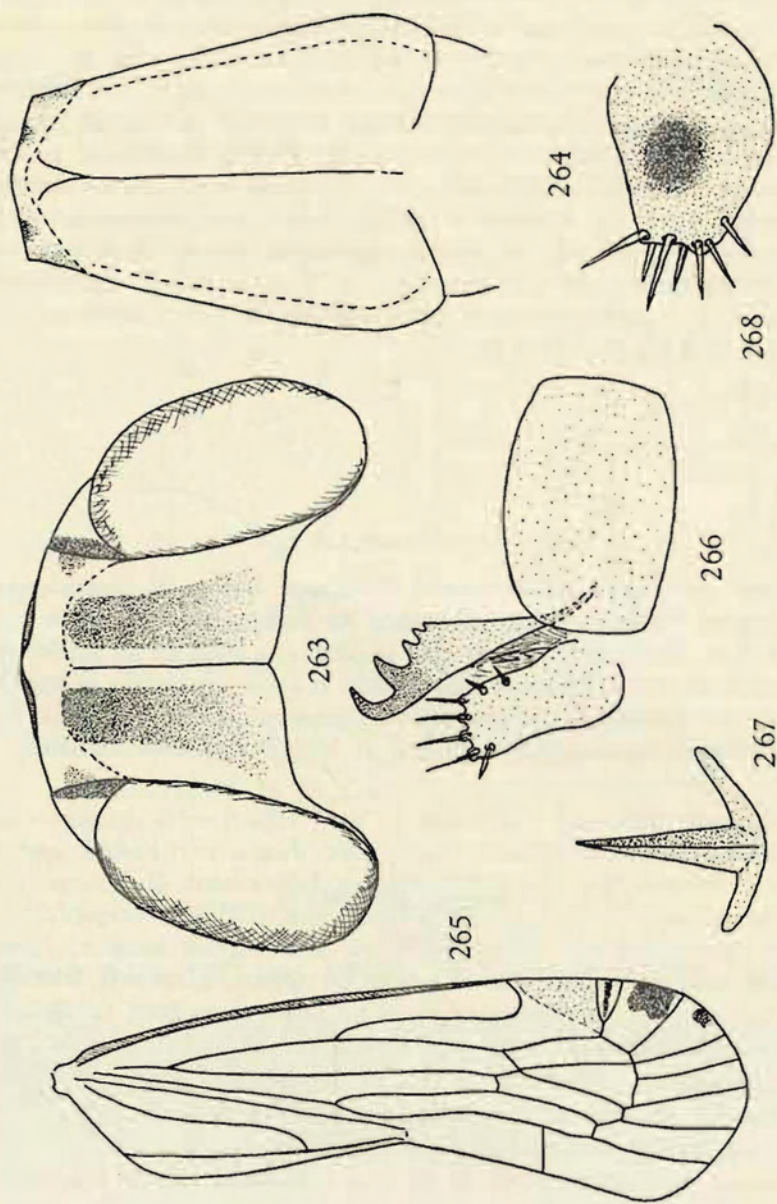


FIG. 263-268. — *Eptisanella bimaculata* n. sp.
 263 : tête, env. $\times 80$; 264 : front, env. $\times 65$; 265 : élytre, env. $\times 15$; 266 : lobe latéral gauche
 et 1^{re} valvule, env. $\times 100$; 267 : sclérite à l'entrée de la bursa copulatrix, env. $\times 100$;
 268 : 3^e valvule, env. $\times 100$.

***Epiusanella bimaculata* n. sp.**

(Fig. 263 à 268.)

Front ocre; plus long que large (24 : 20), à bord supérieur (base) anguleusement convexe et bords latéraux divergents vers le bas; ces derniers sont relevés et carénés, surtout vers la suture clypéale (largeur apicale maxima : 20, largeur à la base : 14); carène médiane nette, surtout vers la base, ne se prolongeant pas sur le clypéus (fig. 264). Vertex ocre-jaune, avec une bande longitudinale brun-noir de chaque côté de la carène médiane; légèrement plus large que long (37 : 31), à bords latéraux légèrement concaves et divergents vers l'arrière; bord antérieur convexe et bord postérieur peu profondément mais largement échancré; carène médiane forte, nette sur toute la longueur (fig. 263). Une tache noire sur chaque tempe au-dessus de l'œil et une grosse, ronde, de chaque côté de la poitrine, au-dessus des hanches antérieures. Pronotum ocre-jaune, avec une tache brune derrière les yeux; un peu plus court que le vertex, à carènes latérales à peu près deux fois aussi longues que la médiane, plus ou moins droites et atteignant le bord postérieur qui est profondément et anguleusement échancré. Scutellum ocre-jaune, sauf une bande longitudinale brune sur les angles scapulaires, prolongeant les taches du pronotum. Élytres hyalins, blanc jaunâtre, avec une bande longitudinale brune plus ou moins nette, prolongeant celle du scutellum, s'étendant sur Cl_1 et la branche externe de Cu et s'arrêtant peu après l'apex du clavus; un trait après le stigma et une grosse tache dans la première cellule apicale sont brun foncé; $Sc+R$ et bifurcation de Cu quasi au même niveau mais plus apicalement que Cl_1 Cl_2 , bifurcation de M au niveau du stigma (fig. 265). Tibias postérieurs armés d'une épine avant le milieu.

Genitalia ♀, voir figures 266 à 268 (sur chacune des troisièmes valvules, une petite tache noire, ronde).

Longueur totale : environ 5 mm.

Type : 1 ♀ : May-ya-Moto, 950 m, 5-9.XI.1934.

2 paratypes ♀ : Parc National Albert (1 ex.) : Rutshuru, 1.285 m, 2-3.I.1934. Musée Royal du Congo Belge (1 ex.) : Boma, 11.III.1937.

INDEX BIBLIOGRAPHIQUE.

- AMYOT, C. J. B. et SERVILLE, J. G. A., 1843, Hist. Nat. Ins., Hemipt., p. 526.
- FENNAH, R. G., 1950, A generic revision of *Achilidae* [Bull. Brit. Mus. (Nat. Hist.), Ent., vol. I, n° 1, pp. 1-169].
- 1955, Contribution à l'étude de la faune entomologique du Ruanda-Urundi (Miss. P. BASILEWSKI). LXXVIII : *Homoptera-Fulgoroidea* (Ann. Mus. Congo Belge, in-8°, Zool., 40, pp. 436-439).
- 1957, Results from the Danish Expedition to the French Cameroons, 1949-1950. XXIV : *Fulgoroidea* (Bull. I.F.A.N., t. XIX, A, 4, pp. 1273 à 1311, 15 fig.).
- 1958, *Fulgoroidea* from West Africa (*Ibid.*, t. XX, A, 2, pp. 460-538).
- HAGLUND, C. J. E., 1899, Beiträge zur Kenntniss der Insektenfauna von Kamerun. 4 : Verzeichniss der von YNGVE SJÖSTEDT im nordwestlichen Kamerungebiete eingesammelten Hemipteren, pp. 62-64.
- JACOBI, A., 1910, YNGVE SJÖSTEDT's Zoologische Kilimandjaro-Meru Expedition 1905-1906, vol. II, Abt. 12, pp. 105-106.
- 1941, Die Zikadenfauna der kleinen Sundainseln, nach der Expeditionsausbeute von B. RENSCH (Zool. Jahrb., Bd. 74, Heft 4, pp. 294-296).
- MELICHAR, L., 1908, Nové rody a druhy Homopter z vychodni Afriky (Cas. České Spol. Entom., 5, pp. 6-7).
- MUIR, F., 1934, New and little-known *Fulgoroidea* (*Homoptera*) (Ann. Mag. Nat. Hist., 10th ser., 84, pp. 581-583).
- SCHMIDT, E., 1905, Beitrag zur Kenntnis der Homopterenfauna Deutsch-Ost-Afrikas (Wien. Entom. Zeit., XXIV, Heft IX-X, p. 285).
- SPINOLA, M., 1839, Essai sur les Fulgorelles, sous-tribu de la tribu des Cicadaïres, Ordre des Rhyngotes (Ann. Soc. Ent. Fr., VIII, p. 310).
- STÅL, C., 1855, *Hemiptera* Iran Kafferlandet (Öfv. Svensk. Vet. Akad. Förh., 12, pp. 89-100).
- 1862, Bidrag till Rio Janeiro Traktens Hemipter-Fauna (Handl. Svensk. Vet. Akad., 3 (6), p. 65).
- 1866, *Hemiptera Africana*, vol. IV, pp. 186-186.

INDEX ALPHABÉTIQUE.

I. — GENRES.

| | Pages. | | Pages. |
|-----------------------------------|--------|----------------------------------|--------|
| <i>Achilla</i> HAGLUND | 15 | <i>Kawandella</i> nov. | 25 |
| <i>Aphyppia</i> MELICHAIR | 31 | <i>Lanuvia</i> STÅL | 27 |
| <i>Ballomarius</i> JACOBI | 67 | <i>Leptarciella</i> FENNAH | 49 |
| <i>Breddiniola</i> MUIR | 13 | <i>Mabira</i> FENNAH | 8 |
| <i>Caffropyrrhyllis</i> FENNAH .. | 23 | <i>Mlanjella</i> FENNAH | 53 |
| <i>Cnidus</i> STÅL | 37 | * <i>Necho</i> JACOBI | 37 |
| <i>Epiusana</i> FENNAH | 85 | <i>Nyonga</i> nov. | 89 |
| <i>Epiusanella</i> nov. | 91 | <i>Paraclusivius</i> FENNAH ... | 47 |
| <i>Ilea</i> STÅL | 17 | <i>Phypia</i> STÅL | 20 |
| <i>Katbergella</i> FENNAH | 7 | <i>Prosagandecca</i> FENNAH ... | 36 |
| <i>Kawanda</i> FENNAH | 24 | <i>Sabecoides</i> FENNAH | 64 |

II. — ESPÈCES, SOUS-ESPÈCES, FORMES ET SYNONYMES.

| | Pages. | | Pages. |
|----------------------------------------------------------|--------|------------------------------------------------------------------|--------|
| <i>albipennis</i> STÅL (<i>Phypia</i> ?) ... | 22 | <i>griseobrunnea</i> FENNAH (<i>Katbergella</i>) | 8 |
| <i>bequaerti</i> n. sp. (<i>Mlanjella</i>) ... | 55 | <i>guttatus</i> FENNAH (<i>Ballomarius</i>) ... | 83 |
| <i>bicuspidata</i> FENNAH (<i>Caffropyrrhyllis</i>) .. | 23 | <i>inermis</i> FENNAH (<i>Ballomarius</i>) ... | 70 |
| <i>bifida</i> n. sp. (<i>Leptarciella</i>) | 52 | <i>kabashensis</i> n. sp. (<i>Ballomarius</i>) ... | 77 |
| <i>bilobatus</i> FENNAH (<i>Ballomarius</i>) ... | 70 | <i>kanongensis</i> n. sp. (<i>Leptarciella</i>) ... | 51 |
| <i>bimaculata</i> n. sp. (<i>Epiusanella</i>) ... | 93 | <i>karaseki</i> SCHMIDT (<i>Mabira</i>) | 10 |
| <i>binotata</i> n. sp. (<i>Mlanjella</i>) | 59 | <i>kawandanus</i> FENNAH (<i>Ballomarius</i>) | 70 |
| <i>bispinosa</i> FENNAH (<i>Mlanjella</i>) | 58 | <i>kawandanus porrectus</i> FENNAH | |
| <i>bivittata</i> n. sp. (<i>Mlanjella</i>) | 62 | (<i>Ballomarius</i>) | 74 |
| <i>bocchar</i> FENNAH (<i>Epiusana</i> ?) | 87 | <i>kivuensis</i> n. sp. (<i>Ballomarius</i>) | 81 |
| <i>bomilcar</i> FENNAH (<i>Sabecoides</i>) | 66 | <i>longipennis</i> MELICHAIR (<i>Aphyppia</i>) .. | 33 |
| <i>cacus</i> FENNAH (<i>Sabecoides</i>) | 66 | <i>longipennis</i> f. <i>pallida</i> nov. (<i>Aphyppia</i>) .. | 33 |
| <i>cincticeps</i> SPINOLA (<i>Mabira</i>) | 9 | <i>luteovittata</i> FENNAH (<i>Lanuvia</i>) ... | 30 |
| <i>collaris</i> HAGLUND (<i>Breddiniola</i>) ... | 14 | <i>luteovittata</i> FENNAH (<i>Kawanda</i>) ... | 25 |
| <i>dartevellei</i> n. sp. (<i>Ballomarius</i>) ... | 77 | <i>maculata</i> n. sp. (<i>Aphyppia</i>) | 35 |
| <i>flavopicta</i> FENNAH (<i>Mlanjella</i>) ... | 59 | <i>marginatifrons</i> HAGLUND (<i>Achilla</i>) . | 16 |
| <i>fuscospersus</i> FENNAH (<i>Cnidus</i>) ... | 45 | * <i>marmoratus</i> JACOBI (<i>Cnidus</i>) .. | 43 |

| | Pages. | | Pages. |
|-----------------------------------------------------|--------|----------------------------------------------------|--------|
| <i>mongaensis</i> n. sp. (<i>Ballomarius</i>) ... | 74 | <i>rugiceps</i> FENNAH (<i>Epiusana</i>) .. | 87 |
| <i>munoiensis</i> n. sp. (<i>Ballomarius</i>) ... | 84 | <i>sagana</i> FENNAH (<i>Leptarciella</i>) . | 51 |
| <i>naevius</i> JACOBI (<i>Cnidus</i>) .. | 39 | <i>satyrus</i> FENNAH (<i>Nyonga</i>) ... | 90 |
| <i>nigrosignata</i> STÅL (<i>Ilea</i>) .. | 17 | <i>similis</i> n. sp. (<i>Mlanjella</i>) .. | 61 |
| <i>octoguttata</i> FENNAH (<i>Lanuvia</i>) . | 30 | <i>straminea</i> FENNAH (<i>Prosagandecca</i>). | 37 |
| <i>ornatifrons</i> JACOBI (<i>Phypia</i>) ... | 20 | <i>striatifrons</i> n. sp. (<i>Cnidus</i>) ... | 44 |
| * <i>pallida</i> FENNAH (<i>Mabira</i>) ... | 10 | * <i>tangensis</i> MUIR (<i>Breddiniola</i>) .. | 18 |
| <i>pallidomaculata</i> n. sp. (<i>Kawandella</i>) | 27 | <i>tristis</i> FENNAH (<i>Paraclusivius</i>) ... | 44 |
| <i>pallidus</i> n. sp. (<i>Cnidus</i>) ... | 41 | <i>variegatus</i> STÅL (<i>Cnidus</i>) .. | 43 |
| <i>philotas</i> FENNAH (<i>Mabira</i>) ... | 12 | <i>wittei</i> n. sp. (<i>Ballomarius</i>) ... | 78 |

* Les noms marqués d'un astérisque sont des synonymes.